



UNIVERSIDAD CÉSAR VALLEJO

**FACULTAD DE CIENCIAS DE LA SALUD
ESCUELA PROFESIONAL DE PSICOLOGÍA**

**Propiedades psicométricas del Inventario de Burnout (MBI-ES) en
profesores de Lima Metropolitana, 2021**

TESIS PARA OBTENER EL TÍTULO PROFESIONAL DE:
Licenciado en Psicología

AUTORES:

Aranguéz Díaz, Mary Ysabel (ORCID: 0000-0003-4232-1497)
Vásquez Sempertegui, Alex Hernán (ORCID:0000-0002-2604-2036)

ASESOR:

Mg. Rosario Quiroz, Fernando Joel (ORCID: 0000-0001-5839-467X)

LÍNEA DE INVESTIGACIÓN:

Psicométrica

LIMA – PERÚ

2021

Dedicatoria

Dedicamos la presente investigación a nuestras familias que nos brindaron su apoyo incondicional día tras día, durante todos estos años de estudios de nuestra vocación y carrera de psicología.

A nuestros amigos y compañeros de aula, que nos apoyaron de una u otra forma con palabras de aliento y fortaleza para continuar cuando sentíamos que desmayábamos.

Agradecimiento

A nuestro DIOS, que guía día a día nuestros caminos y va cuidando nuestras vidas en medio de esta crisis sanitaria que atraviesa el mundo, permitiéndonos continuar los estudios para alcanzar nuestra meta tan anhelada.

A los DOCENTES, por transmitirnos sus conocimientos e inculcarnos el amor a esta hermosa profesión.

A nuestro ASESOR, por su constante motivación para ayudarnos a concluir la tesis de manera satisfactoria.

Carátula	ii
Dedicatoria	ii
Agradecimiento	iii
Índice de contenidos	iv
Índice de tablas	v
Resumen	vi
I. INTRODUCCIÓN	1
II. MARCO TEÓRICO	5
III. METODOLOGÍA	11
3.1 Tipo y diseño de investigación	11
3.1.1 Tipo de investigación	11
3.1.2 Diseño de investigación	11
3.2 Variables y Operacionalización	11
3.3 Población, muestra y muestreo	12
3.4 Técnicas e instrumentos de recolección de datos	13
3.5 Procedimientos	17
3.6 Método de análisis de datos.....	17
3.7 Aspectos éticos.....	19
IV. RESULTADOS	21
V. DISCUSIÓN	27
VI. CONCLUSIONES	30
VII. RECOMENDACIONES	31
REFERENCIAS	32
ANEXOS	41

Índice de tablas

	Pág.
Tabla 1: Análisis estadístico de los ítems del MBI-ES	21
Tabla 2: Análisis factorial exploratorio del MBI-ES	22
Tabla 3: Índices de ajuste del análisis factorial confirmatorio MBI-ES	23
Tabla 4: Análisis factorial confirmatorio del MBI-ES	24
Tabla 5: Evidencias de confiabilidad de las escalas del MBI	25
Tabla 6: Evidencias de validez relacionadas con otras variables	25

Resumen

El presente trabajo de investigación psicométrica tuvo como objetivo evaluar las propiedades psicométricas del inventario de Burnout MBI-ES versión en español, en docentes de educación básica regular de Lima Metropolitana. Para ello se aplicaron: el inventario MBI-ES, la Escala de Satisfacción con la Vida (SWLS) y la Escala de Autoeficacia para el Afrontamiento (EAEAE). La muestra fue de 232 profesores, el muestreo fue no probabilístico, tipo bola de nieve. En los resultados obtenidos, se encontraron valores aceptables en el análisis estadístico previo de los ítems. Se desarrolló un AFE ($KMO = .89$, $p < .001$) que mostró una estructura de tres factores que explicaban una varianza de 49.42%. En base a ello se hizo un AFC, utilizando el estimador DWLS, obteniendo valores de bondad ajuste óptimos ($\chi^2/gl = 1.25$; $TLI = .99$; $CFI = .99$; $PNFI = .84$; $RMSEA = .03$ y $SRMR = .08$). La confiabilidad se evaluó con el coeficiente multidimensional Omega encontrando para Agotamiento emocional $\omega = .916$, Despersonalización $\omega = .706$, Realización Personal $\omega = .809$ y para todo el modelo $\omega = .769$, todos ellos adecuados ya que $\omega \geq .70$. Se obtuvieron evidencias de validez en base a la relación con otras escalas, estas respondieron según lo esperado, así las correlaciones encontradas fueron altamente significativas ($p \leq .001$) con tamaños del efecto medio ($R^2 = .13$ a $.24$), fueron directas entre RP con EAEAE ($r = .33$) y con SWLS ($r = .48$); e inversas entre AE con EAEAE ($r = -.36$) y SWLS ($r = -.48$) y D con EAEAE ($r = -.42$) y SWLS ($r = -.41$). Se concluye que el inventario presenta adecuadas evidencias psicométricas.

Palabras clave: *Burnout, MBI, psicometría, confiabilidad, validez.*

Abstract

The present psychometric research work aimed to evaluate the psychometric properties of the Burnout inventory MBI-ES, Spanish version, in teachers of regular basic education Metropolitan Lima. For this, the MBI-ES inventory, the Satisfaction with Life Scale (SWLS) and the Self-efficacy Scale for Coping (EAEAE) were applied. The sample was 232 teachers, the sampling was non-probabilistic, snowball type. In the results obtained, acceptable values were found in the previous statistical analysis of the items. An EFA (KMO = .89, $p < .001$) was developed that showed a structure of three factors that explained a variance of 49.42%. Based on this, a CFA was made, using the DWLS estimator, obtaining optimal goodness-of-fit values ($\chi^2 / gl = 1.25$; TLI = .99; CFI = .99; PNFI = .84; RMSEA = .03 and SRMR = .08). Reliability was evaluated with the multidimensional Omega coefficient, finding for Emotional exhaustion $\omega = .916$, Depersonalization $\omega = .706$, Personal Achievement $\omega = .809$ and for the entire model $\omega = .769$, all of them adequate since $\omega \geq .70$. Evidence of validity was obtained based on the relationship with other scales, these responded as expected, thus the correlations found were highly significant ($p \leq .001$) with medium effect sizes ($R^2 = .13$ to $.24$), they were direct between PR with EAEAE ($r = .33$) and with SWLS ($r = .48$); and inverse between AE with EAEAE ($r = -.36$) and SWLS ($r = -.48$) and D with EAEAE ($r = -.42$) and SWLS ($r = -.41$). It is concluded that the inventory presents adequate psychometric evidence.

Keywords: *Burnout, psychometrics, MBI, reliability, validity.*

I. INTRODUCCIÓN

Desde el año 2000, el burnout ha empezado a guardar relevancia a nivel mundial, siendo tomado en cuenta como un importante factor causal y circunstancial de riesgo laboral por la ONU, debido a que genera un desgaste, afección a la salud mental, física, emocional de los trabajadores afectando también al entorno cercano familiar y laboral (Saborío & Hidalgo, 2015). Esta problemática, se consideraba que afectaba aproximadamente el 10% de los trabajadores en población urbana (Mouzo, 2019), sin embargo, este porcentaje puede variar en relación con el presente.

Actualmente, en pleno 2021, se mantienen las restricciones sanitarias causadas por la pandemia del Covid-19, lo cual ha venido modificando los estilos de vida cotidiana, académicos y de trabajo. Estos cambios han venido repercutiendo en la salud mental de la población, generando consecuencias y afecciones a la salud mental como el estrés, apatía, irritabilidad, insomnio, trastornos ansiosos, depresión y otras (Broche-Pérez et al., 2021). Una evidencia de ello es que la línea 113, habilitada por el Ministerio de Salud para brindar apoyo y orientación psicológica a distancia, recibió 24 802 llamadas de abril a mayo del pasado año 2020, donde el 82,35 % de las llamadas correspondió a atención de problemas de estrés (Ministerio de Salud, 2020).

En el sector educativo, los docentes han continuado brindando el servicio de manera remota, lo cual ha sido un cambio significativo en sus formas de dictar sus asignaturas y el uso de la tecnología, ello sumado al estrés producido por la propia emergencia sanitaria incrementaría la incidencia o los niveles de burnout en los docentes (Abarca et al, 2020).

Además el Ministerio de Salud (2020) remite que en el caso de las actividades en el sector educativo, generan situaciones de riesgo que podrían incrementar el estrés laboral, entre ellos considera el exceso del trabajo de atención y asistencia, las dificultades económicas y de presión laboral, la preocupación por el contagio del virus, la exposición al riesgo al contagio, ausencia de logística en relación a los elementos de bioseguridad y por último los medios didácticos con la

adaptación al mundo virtual que conlleva. El resultado de todo esto se evidenció en algunos estudios en muestras de profesores peruanos, Salcedo et al. (2020) encontraron un 82.2% de prevalencia media y Celio (2021) encontró que el 50% tenía altos niveles de burnout, lo cual genera un importante campo de interés en la evaluación, prevención e intervención psicológica.

Para poder entender la problemática debemos hablar de *burnout*, que podemos entenderlo como una respuesta o consecuencia de un prolongado estrés crónico laboral, y un fracaso en su afrontamiento oportuno, en la cual el laborante se considera a sí mismo como un fracasado profesional, experimenta sentirse cansado o agotado emocionalmente y mantiene actitudes negativas dirigidas hacia el trabajo, los colegas, los jefes, subordinados o clientes (Gil-Monte y Peiró, 1999).

Observamos entonces que para el desarrollo del burnout el estrés es el factor central, éste recibe influencia importante de las crisis en el desarrollo de la carrera de trabajo, el aburrimiento o monotonía, no sentirse estimulado laboralmente, la sobrecarga laboral y las condiciones económicas como el salario o los egresos externos (Quinceno & Vinaccia, 2007). Entre los efectos, Gil-Monte y Peiró (1999), apuntan a consecuencias para el individuo como problemas de la salud e insatisfacción laboral y consecuencias para la organización como el posible y recurrente abandono de sus obligaciones de trabajo. González y Landero (2008) demostraron en un estudio empírico que el agotamiento emocional genera respuestas como sintomatología psicósomática, es decir dolores de vientre, espalda, miembros, migrañas, además de vértigo, problemas para respirar, y otras dolencias gastrointestinales.

Entendiendo qué es, sus causas y consecuencias, continuamos con la problemática de la evaluación del constructo. En los estudios de revisión en docentes españoles y latinoamericanos, se encontró que se han utilizado los siguientes test psicológicos: el Maslach Burnout Inventory (MBI), el Cuestionario de Evaluación del Síndrome de Quemarse por el Trabajo (CESQT), el Maslach Burnout Inventory para Educadores (MBI-Ed), el Cuestionario de Burnout para el Profesorado Revisado (CBP-R), el Maslach Burnout Inventory-General (MBI-GS) y el "Cuestionario Breve de Burnout". Sin embargo, el instrumento más utilizado ha

sido el MBI y sus diferentes variantes, en el período 2007 – 2017 su uso fue más del 51,7 % en docentes (Pinel-Martínez et al., 2019), 52,2% (Tabares-Díaz et al., 2020) y 56% (Casallas et al., 2017) en Latinoamérica.

Después de revisar la literatura, observamos que pocos estudios son de clase instrumental (Pinel-Martínez et al., 2019), lo que genera un vacío importante si tomamos en cuenta que los *test* son una de las tecnologías más importantes utilizadas en los servicios profesionales e investigación psicológicos (Muñiz, 2010). No hemos encontrado estudios de validación del MBI-ES recientes y en la población docente, siendo de importancia ya que es necesario utilizar instrumentos cuyo caso esté sustentado en evidencia empírica (AERA et al., 2018).

Por todo lo señalado, y debido a la importancia de utilizar instrumentos con adecuadas propiedades psicométricas para el estudio del burnout en docentes en pleno contexto COVID-19, nos planteamos lo siguiente:

¿Cuáles son las propiedades psicométricas del Inventario de Burnout MBI-ES en profesores de educación básica regular de Lima Metropolitana, 2021?

El estudio, presenta congruencia metodológica, porque busca explorar las propiedades psicométricas del MBI-ES el cual ha sido sometido bajo procedimientos que evalúen la validez y la confiabilidad de los resultados obtenidos de los ítems. Para lo cual se utilizaron procedimientos adecuados y recomendados, como el análisis factorial (Meneses, 2013), de acuerdo con las recomendaciones de los *Estándares para pruebas educativas y psicológicas* (AERA et al., 2018).

Es conveniente en el sentido práctico y social, ya que los instrumentos psicológicos son la principal tecnología de evaluación para el profesional psicólogo (Casas et al., 2002). Esto permitirá realizar mejores evaluaciones y poder estudiar el desarrollo del fenómeno, realizar diagnósticos individuales o grupales, y realizar aportes y servicios de valor a la sociedad (Baena, 2017).

Respecto del nivel teórico, el informe de investigación ayudará como referencia para posteriores investigaciones puesto que brinda una recolección de

información importante teórica y estadística lo cual genera un antecedente (Hernández et al., 2014).

Por todo lo planteado, para la investigación, el objetivo general fue: Determinar las evidencias psicométricas del Inventario de Burnout MBI-ES en profesores de educación básica regular de Lima Metropolitana, 2021.

Dentro de los objetivos específicos se encuentra: Realizar el análisis estadístico de los ítems del Inventario de Burnout MBI-ES en profesores de educación básica regular de Lima Metropolitana, 2021; identificar evidencias de validez de la estructura interna del Inventario de Burnout MBI-ES en profesores de educación básica regular de Lima Metropolitana, 2021; evaluar las evidencias de confiabilidad del Inventario de Burnout MBI-ES en profesores de educación básica regular de Lima Metropolitana, 2021; evaluar las evidencias de validez relacionadas a otras variables del Inventario de Burnout MBI-ES en profesores de educación básica regular de Lima Metropolitana, 2021.

II. MARCO TEÓRICO

A continuación, se procedió a exponer los antecedentes, empezando por aquellos realizados en contexto internacional:

En Serbia, Vukmirovic et al. (2020), realizaron un estudio con el objetivo de evaluar las características psicométricas del MBI-ES. La muestra que utilizaron fue de $n = 246$ docentes universitarios, con edad media de 46.1. Utilizaron la versión serbia del MBI-ES y el cuestionario Big Five Plus Two. Los resultados del AFC, con tres factores correlacionados fueron: $X^2 = 596.133$, $gl = 50$, $TLI = .82$, $CFI = .84$, $RMSEA = .08$. Mientras que la confiabilidad hallada para cada factor fue entre $\alpha: .93$ y $\alpha: .62$. Por otro lado, se observaron las correlaciones de los factores del MBI-ES y los rasgos de personalidad del Big 5+2, donde se observaron múltiples correlaciones significativas ($p < .001$).

Aboagye, et al. (2018), enfocaron su investigación en determinar la aplicabilidad intercultural del Inventario de Burnout de Maslach para Docentes (MBI-ED) en 869 profesores de los países de China, Ghana, y Pakistán, 578 mujeres y 291 varones, entre 18 y 59 años ($M = 33.27$, $DS = 1.03$). Hallaron que los valores del AFC en el modelo original de tres factores correlacionados tuvo un ajuste óptimo que los alternativos, ($X^2/gl = 2.53$, $CFI = .91$, $TLI = .90$, $RMSEA/SRMR = .06$). Para el cálculo de la invarianza (cultura, sexo) de tres restricciones, se redujo a 16 ítems, obteniendo: $X^2/gl = 1.76/2.02$, $CFI = .85/.91$, $RMSEA = .04/.028$. $SRMR = .62$, $CFI = .00$ y $RMSEA = .0$. Finalmente concluyeron que el modelo original presenta un ajuste óptimo y a su vez no existe variabilidad del modelo interculturalmente.

En Hungría, Szigeti, et al. (2017) buscaron en este estudio validar la versión húngara del Inventario de Burnout de Maslach (MBI-ES) en 211 profesores de primaria y secundaria, con una edad promedio de 42.8 años ($SD = 1.5$). Los resultados indicaron que, en una comparación entre diversos modelos estructurales, el modelo bifactorial, fue el que presentó mejores índices de ajuste: $X^2/gl = 1.59$, $TLI = .86$, $CFI = .90$, $RMSEA = .05$, $SRMR = .05$. Para validez por convergencia, relacionaron el instrumento con otras variables como la depresión y necesidades especiales en la enseñanza, la correlación fue entre $.15$ a $.31$; $p < .01$. En cuanto a la fiabilidad por factor fue: $\omega = .64$ hasta $.86$ y en $\alpha = .72$ a $.88$, y en la

escala total $\omega = .90$ y $\alpha = .67$. Concluyeron que el modelo óptimo fue el modelo bifactorial.

Hawrot y Koniewski (2017) estudiaron la estructura factorial del Inventario de Burnout de Maslach (MBI-ES). Realizaron un estudio psicométrico y longitudinal, de 6 años de duración. En una muestra de 1206 docentes polacos de educación primaria, de ambos sexos, donde las mujeres eran el 91%. Los resultados indicaron que: al comparar diversos modelos con rotación oblicua y bifactorial, determinaron que el modelo bifactorial presenta mejores índices de ajuste al SEM, siendo; RMSEA= .04, CFI= .98 y TLI= .98, mientras que las cargas factoriales en las dimensiones fueron entre .30 hasta .66, en la escala general osciló entre .26 hasta .77. En cuanto a la fiabilidad la escala obtuvo valores de Omega: $\omega = .94$ para la escala general y entre $\omega = .83$ hasta .88 en las dimensiones. Concluyeron que el modelo bifactor presenta índices de bondad ajuste óptimos que los modelos con factores correlacionados.

Aranda et al. (2016) tuvieron como objetivo validar el MBI-HSS en trabajadores. Participaron 1958 trabajadores de los cuales 28,4 % fueron mujeres y 71.6% hombres, de 15 a 84 años. Respecto a la validez, utilizó el análisis factorial exploratorio (KMO: .894, $p < .000$), con un 41.6% de varianza explicada para el modelo de tres factores. En cuanto a la confiabilidad para las escalas AE: $\alpha = .835$, D: $\alpha = .407$ y Falta de Realización: $\alpha = .733$. Concluyendo que el test presenta adecuadas evidencias.

En los antecedentes nacionales Arias et. al. (2019) se propusieron analizar las propiedades del Inventario de Burnout de Maslach (MBI-ED). En su estudio, participó 413 docentes de la ciudad de Arequipa, 40.2% fueron varones y 47.9% mujeres, con edades de 24 a 70 años. Eliminó los ítems 1 y 2, obteniendo índices de ajuste de $X^2 = 674.4$, $gl = 167$, RMSEA= .07, SRMR= .07 y CFI= .92. Por otro lado, la confiabilidad en Omega halló adecuados índices .86, .77 y .88. El estudio concluyó, que se corrobora el constructo teórico propuesto originalmente por los autores.

Yslado-Méndez et al. (2021) analizaron la validez y confiabilidad del MBI para profesores, versión de Arquero y Donoso. La muestra consistió en 206

docentes de Ancash, 164 eran varones y 42 mujeres, de 20 a 70 años. Evaluaron la validez de contenido con criterio de jueces, con ocho expertos presentando valor aceptable V de Aiken de .91. Para la validez de constructo utilizaron el análisis factorial exploratorio (KMO= .87; $p < .001$) y el análisis factorial confirmatorio: para docencia (RMSEA=.07, CFI=.87, TLI=.86, NFI=.77) y para investigación (RMSEA=.06, CFI=.91, TLI=.9, NFI=.80). Evaluaron la confiabilidad con el coeficiente omega: docencia: CE ω =.86, D ω =.64, RP ω =.79; investigación CE tiene ω =.86, D ω =.71 y RP ω =.81 siendo aceptables. Concluyeron que esta versión del MBI-ES presenta adecuadas propiedades psicométricas.

Ahora procederemos a precisar el término burnout, en el Diccionario Conciso de Psicología de la APA en español aparece como *agotamiento* definiéndolo como “fatiga física, emocional o mental, en especial en el trabajo o la profesión, que se acompaña por una disminución en la motivación y en el desempeño, así como por actitudes negativas hacia uno mismo y hacia los demás”. (American Psychological Association, 2010).

La historia de este término se remonta a 1961, cuando Graham Greene, un literato, publicó una obra novelística titulada *A Burn Out Case* en el cual menciona a un arquitecto con algunas de las características propias de este síndrome (Hernández et al., 2007). Pero sería Freudenberger en describir primero el síndrome y llamarlo así en 1974 (Freudenberger, 1974) desde aquella vez diferentes autores desde la psicología han buscado conceptualizarlo, sin embargo, será la psicóloga Cristina Maslach (1976) quien obtenga reconocimiento no sólo por su aporte teórico sino también por la construcción del inventario para evaluarlo (MBI) el cual es utilizado mayoritariamente. Entre los avances que se fueron realizando, es que se encontró burnout en trabajos que no implicaban servicio e incluso hasta en estudiantes (Ramos et al., 2005).

Respecto a los modelos, se pueden agrupar en: *Basados en la teoría sociocognitiva del yo*, como por ejemplo Cherniss (1993) señala que la variable central para el desarrollo del burnout es la autoeficacia percibida, y Thompson, et al. (1993) que considera relevante la relación entre autoconfianza profesional y

realización personal; *del intercambio social*, entre ellos Hobfoll y Fredey (1993) que señalan que el síndrome surge por la percepción de ausencia de ganancias sean económicas u de otro tipo; *en la teoría organizacional*, Winnubst (1993) menciona como importantes la asignación de roles, la cultura, la estructura y el clima organizacional. Y finalmente tenemos los diversos desarrollos de *modelos derivados del MBI*.

En nuestro estudio consideramos como relevante el modelo procesual de Leiter (Maslach et al., 1996). En el cual identificamos el núcleo trino del MBI (Maslach et al 1981), conformado por *agotamiento emocional* que refiere a que el trabajador experimenta la reducción de la motivación hacia lo que realizan, se sienten agotados, frustrados, saturados, cansados por el trabajo; *despersonalización* aquí la persona se desconoce a sí misma, trata de manera impersonal a sus compañeros, con insensibilidad; y *realización personal* que comprende la competitividad, el clima laboral, el manejo de las emociones, y el sentirse realizados en el trabajo. Este núcleo es afectado por *las demandas organizacionales* (carga laboral, conflictos personales) y los *recursos personales* (enfrentamiento “coping”, apoyo social, autonomía), manifestándose el *cansancio emocional*, que al no ser superada aparece la *despersonalización* como una estrategia de afronte, finalizando con una baja *realización personal* (ineficacia, bajo profesionalismo) apareciendo como *costes* o consecuencias el absentismo, dolencias físicas o participación laboral. En la investigación utilizamos la versión MBI-ES (Maslach, 1986), esta ha sido modificada para educadores y traducida al español consta de 22 preguntas politómicas, agrupadas en tres escalas “agotamiento emocional”, “despersonalización” y “realización personal”.

Las exploraciones psicológicas iniciales de Freudenberger (1974) y Maslach et al. (1986), respecto al síndrome de Burnout, obedecían fundamentalmente a una mera descripción del fenómeno que atisbaba en aquellas épocas en la clínica. Ambos autores, sostuvieron sus aportes cuando mencionaron que en efecto la pérdida gradual de energía, cansancio emocional, cínico desinterés en el trabajo y con los compañeros de labores, desequilibrio entre los recursos individuales y las demandas en el trabajo, se relacionaban estrechamente con las presiones del ambiente laboral. En efecto, este esbozo fue el inicio paradigmático en el

conocimiento científico del fenómeno conocido como burnout (Freudenberger, 1974; Maslach et al., 1986 y Carlín, 2014). No obstante, la descripción esquemática de los componentes del síndrome de burnout y sus indicadores, no son lo suficientemente amplios para la comprensión epistémica, ya que por un lado el sujeto tiene una experiencia subjetiva individual que dista del otro y distinguiéndose así en una comprensión hermenéutica individualista. Por otro lado, el fenómeno que tiene un alcance socio cultural impone otros factores que dinamizan su complejidad y a la vez presenta algunos virajes en cuanto a lo paradigmáticamente conocido en la ciencia.

Para el desarrollo de la investigación, revisamos algunos conceptos de psicometría. Entre las teorías hegemónicas en la psicometría que estudian y se aplican a los test se consideran a la Teoría Clásica de los Test (TCT) y la Teoría de respuesta al Ítem (TRI), además de la poco conocida Teoría de la Generalizabilidad (TG). Sin embargo, solo nos enfocaremos en la TCT, debido a que en ella se circunscriben a los aspectos de validez y fiabilidad que serán requisitorios para analizar en el presente trabajo de investigación; fue planteada por Spearman al inicio del siglo XX y sistematizada principalmente por Gulliksen en 1950; su planteamiento principal se puede simbolizar de la siguiente manera: $X = v + e$, siendo v el valor o puntuación verdadera, e se considera como el error de medida; por último, X es la puntuación empírica, así como la suma de los anteriores caracterizándose como un modelo lineal (Arias et al., 2014).

Las propiedades psicométricas son aspectos claves en la TCT. La validez es entendida como el grado en el que la teoría subyacente al constructo y la evidencia empírica reportada apoyan la interpretación de las puntuaciones del instrumento para un solo uso específico (AERA et al., 2014), actualmente el consenso redactado en los Estándares para Pruebas Educativas y Psicológicas admite cinco fuentes de evidencia de validez (AERA et al., 2014): *Basada en el contenido del test*, aquí se analiza si las preguntas o ítems representan la variable que supone evaluar; *el proceso de respuesta*, si el proceso seguido por los participantes permite obtener indicadores sobre lo que se está evaluando; *la estructura interna*, si la organización de los elementos componentes es coherente con la teoría y la evidencia; *la relación con otras variables*, las puntuaciones del test deberían correlacionarse con otros

instrumentos según lo que la teoría supone para los constructos; y *las consecuencias de aplicar el test*, las cuales son sugeridas por la teoría. La fiabilidad según esta teoría es entendida como la proporción del error de medición en relación con la puntuación empírica, así las puntuaciones que se obtienen al usar el test se consideran “fiabiles”; existen varias metodologías para aproximarse a su valor: Test-Retest, Test paralelos, dos observadores y el de consistencia interna, que se basa en la estructura interna del instrumento siendo los ítems consistentes porque evalúan aspectos relacionados del mismo constructo (Meneses, 2013).

III. METODOLOGÍA

3.1. Tipo y diseño de investigación

3.1.1. Tipo de investigación

El trabajo de investigación realizado es de tipo psicométrico, ya que tiene la finalidad de evaluar y describir las evidencias de validez y confiabilidad de un test psicológico (Muñiz et al., 2013).

3.1.2. Diseño de investigación

El estudio corresponde al diseño instrumental, que se plantea cuando se busca analizar las propiedades psicométricas de los test o instrumentos psicológicos, ya sea para construirlos, adaptarlos, validarlos o estandarizarlos (Ato et al., 2013).

3.2. Variables y Operacionalización

Variable: Síndrome de Burnout

Definición conceptual:

Es el conjunto de síntomas tanto físicos como emocionales que provocan un desgaste en el sujeto, despersonalización y baja realización en los colaboradores de un centro laboral, en donde usualmente hay más contacto de forma directa con las personas e intercambio de funciones de forma frecuente (Maslach y Jackson, 1981).

Definición operacional:

Son las puntuaciones obtenidas de la aplicación del Inventario de Burnout de Maslach: Encuesta para Educadores (MBI-ES) de Maslach et al., (1986) el cual consta de tres escalas con 22 ítems en total.

Indicadores:

El inventario cuenta con tres escalas, el primero se denomina **Agotamiento emocional**, se vincula a los sentimientos de sobredimensión emocional y agotamiento de los recursos afectivos psíquicos. Asimismo, es caracterizado por la fatiga, el debilitamiento, desgaste y pérdida de la lucidez mental afectiva. **Despersonalización**, se relaciona con una actitud de cinismo, irritabilidad, pérdida de los ideales intrapersonales, negativismo, insensibilidad e indiferencia, pesimismo y actitudes inapropiadas hacia los demás. **Realización Personal**, es comprendida por la eficacia, productividad, moral o capacidad profesional reducida para hacer frente a los estresores laborales, disminución de la competitividad y logros en el trabajo (Maslach et al., 1986).

3.3. Población, muestra y muestreo

Población:

Es el total de sujetos u objetos que poseen atributos comunes entre sí y que permite distinguirse de otros, estos criterios se pueden evidenciar u observar y permiten al investigador analizarlas y categorizarlas (Sánchez, et al, 2018). Para el presente estudio fueron docentes de educación básica regular, pertenecientes a instituciones educativas de administración públicos y privados de Lima Metropolitana. Se estima que son aproximadamente 116200 profesores (ESCALE, 2021).

Criterios de inclusión

- Que impartan clases en un nivel básico de enseñanzas (inicial, primaria y secundaria).
- Tiempo de experiencia laboral no mayor a 21 años
- Docentes de Lima Metropolitana
- Docentes que tengan una jornada laboral de tiempo completo

Criterios de exclusión

- Que no hayan llenado correctamente sus datos en el formulario virtual
- Que no laboren en Lima Metropolitana
- Que no sean de nacionalidad peruana.

Muestra:

En investigación, el concepto de muestra hace alusión a la fracción significativa de la población objeto, el cual se identifica por poseer similares características y atributos cuantitativos y cualitativos de la población general de estudio (Sánchez et al., 2018). El *tamaño de la muestra* fue de 232, la cual cumple con los criterios, para análisis factorial confirmatorio, de Catena et al. (2003) que aconseja ocho sujetos por variable observada y Hair et al. (2014) que aconseja 10 y un mínimo de 200, siendo entonces $10 \times 22 = 220$.

Muestreo:

El muestreo es el procedimiento específico para abstraer la muestra de estudio de la población general, con la finalidad de analizarla y posteriormente realizar una inferencia y aproximación sobre la realidad de la población (Sánchez, et al, 2014). Para el estudio fue de tipo *no probabilístico* con la *técnica bola de nieve*, ya que la muestra va incrementándose simultáneamente en la medida que el investigador contacta a un participante y este a su vez se comunica con un grupo mayor de participantes con similares características determinadas y de esta manera se incrementa la muestra de estudio (Supo, 2014).

3.4. Técnicas e instrumentos de recolección de datos

En este trabajo la encuesta fue la herramienta elegida en la recopilación de datos, entendida como un conjunto de ítems o preguntas sistematizadas que busca indagar sobre los aspectos de un tema en específico, facilitando el conocimiento entorno a un constructo (Lafuente y Marín, 2008). Se utilizó en específico el Inventario MBI – ES para evaluar *el síndrome de burnout*.

Instrumento

Nombre original	: Maslach Burnout Inventory Educators Survey (MBI-ES)
Autora	: Maslach C., Jackson y Leiter
Procedencia	: Estados Unidos
Administración	: Individual o colectivo
Tiempo	: 10 - 15 min.
Estructuración	: tridimensional - 22 ítems
Aplicación	: Adultos

Reseña histórica:

En 1981 Maslach y Jackson desarrollaron el MBI para medir en un primer momento el estrés crónico del cliente interno en su entorno laboral: El MBI-Human Services Survey (Maslach y Jackson, 1981). Posteriormente elaboraron una segunda versión para educadores, llamada MBI-Educators Survey (MBI-ES; Maslach y Jackson, 1986), la cual se ha utilizado en este estudio. Este inventario consta de tres escalas: **agotamiento emocional** (ítems 1 al 9) es la que define el aspecto emocional, **despersonalización**, refiere a la indiferencia y distanciamiento en el trabajo como una forma de defensa (ítems 10 al 14), y **realización personal** (ítems 14 al 22).

Consigna de aplicación

El inventario es de aplicación colectiva o individual, de aproximadamente 10 minutos, cada evaluado deberá marcar en el cuestionario la respuesta que más considere que se aproxime a su realidad.

Calificación

La calificación consiste en que el evaluado elija la respuesta que más se aproxime a su realidad, luego los puntajes se suman por escala ya que es independiente.

Propiedades psicométricas originales

En el Manual del MBI en español (Maslach y Jackson, 1997) mencionan que realizaron diferentes estudios desde 1986, respecto a la validez de constructo ,diversos análisis factoriales exploratorios (en muestra general, sanitaria, general y por sexos), los tres factores aparecen definidos con una varianza explicada de 41-44 %, las saturaciones superiores a .29 y relaciones significativas entre las escalas; respecto a la fiabilidad menciona que en una muestra de 1316 obtuvo para AE: .90, DP: .79 y RP: .71.

Propiedades psicométricas peruanas

Si bien no encontramos estudios de validación para el MBI-ES, como un referente tomamos a Arias et. al. (2019) quienes para el MBI-ED realizaron un AFC luego de eliminar los ítems 1 y 2, encontraron ajuste de $X^2= 674.4$, $gl= 167$, $RMSEA= .07$, $SRMR= .07$ y $CFI= .92$. Por otro lado, la confiabilidad en ω halló adecuados índices entre EA: .86, DP: .77 y RP: .88.

Propiedades psicométricas de la prueba piloto

En el estudio piloto (n=80) se encontró una confiabilidad para EA de $\alpha: .84$, $\alpha: .693$, $\alpha: .921$. Se encontró una estructura factorial correspondiente a la teórica con una varianza explicada del 49.7%.

Nombre : Escala de Autoeficacia para el Afrontamiento del Estrés (EAEAE)

Autores : Débora Godoy Izquierdo

Procedencia : España 2008

Administración : Individual o colectivo

Aplicación : 10 - 15 min.

Dirigido : adultos

Reseña Histórica

Esta escala fue realizada en España por Godoy et al. (2008), cuyo objetivo se centra en conocer las creencias de eficacia personal para el afrontamiento del estrés, está compuesta por 8 ítems que evalúan se evalúan dos dimensiones, Expectativas de Eficacia (EE) y Expectativas de Resultado (ER).

Propiedades psicométricas originales

Godoy et al. (2008) encontraron una fiabilidad general $\alpha = .75$, para la dimensión EE de .60 y para ER .66; sobre la validez realizaron un AFE que encontró para las dos dimensiones una varianza explicada de 50%.

Consigna

El instrumento es de aplicación grupal e individual, con una duración de 10 min, cada evaluado debe marcar la respuesta correspondiente.

Nombre	: Escala De Satisfacción Con La Vida (SWLS)
Autores	: Diener, Emmons Larsen & Griffin
Procedencia	: España – 2008
Adaptación	: Calderón- De la Cruz G., Lozano F, Cantuarias A. en 2018
Administración	: Individual o colectivo
Aplicación	: 10 - 15 min.
Dirigido	: adultos

Reseña Histórica

La *Escala de Satisfacción con la Vida (SWLS)* es una escala breve de 5 ítems, desarrollada por Diener et al. (1985). Y como señala Pavoy y Diner (2008) es el test más utilizado para medir el constructo de satisfacción con la vida.

Propiedades psicométricas originales

En el estudio original desarrollado por Diener et al. (1985), para la SWLS se encontraron óptimos valores de confiabilidad siendo $\alpha = .87$ y test-retest de $r = .82$.

Consigna

Vas a encontrar a continuación una serie de oraciones que describen como se siente una persona, marca las alternativas de la mejor manera que consideres tú que te estás sintiendo. Hazlo con confianza y tranquilidad pues no existen respuestas buenas o malas.

Propiedades psicométricas peruanas.

En el Perú, Calderón-De la Cruz et al. (2018) hallaron una confiabilidad obteniendo un ω corregido = .863 y $H = .92$. Además, lo relacionaron con el inventario MBI-GS, las relaciones fueron altamente significativas ($p \leq .001$) negativas con *Agotamiento Emocional* ($r = -.39$) e *Indiferencia* ($r = -.35$) y positiva con *Eficacia profesional* ($r = .44$).

3.5. Procedimiento

Los cuestionarios se presentaron en un formulario virtual de Google, que fue enviado de forma virtual a los docentes participantes, para ser respondido de manera voluntaria. Se les informó sobre el carácter confiable, confidencial y anónimo de la investigación, además de brindarles el consentimiento informado. Luego del empleo del test psicológico, se trasladaron los datos a una hoja de Microsoft Excel para su análisis respectivo en los softwares estadísticos JASP y Jamovi.

3.6. Método de análisis de datos

Inicialmente se aplicó una prueba piloto, reportándose estadísticos descriptivos preliminares como frecuencias, desviación típica, media, asimetría, curtosis, índice de homogeneidad corregida (IHC), correlaciones entre ítems y comunalidades, todos estos necesarios ya que nos indican cómo se comporta los instrumentos y nos permite dirigir mejoras (Pérez y Medrano, 2010). También se observó la matriz de correlación no encontrado evidencias de multicolinealidad

(Tabachnick y Fidell, 2001). Todos estos resultados fueron obtenidos al utilizar los softwares Excel y Jamovi v. 1.6.7.

En la segunda fase se trabajó con una muestra de 232 docentes, en el programa de Microsoft Excel se examinó buscando valores perdidos o respuestas inválidas. Posteriormente se realizaron los análisis descriptivos de rutina como frecuencias, media, curtosis, asimetría, estos últimos presentaron en algunos ítems valores fuera del criterio ± 1.5 (Pérez y Medrano, 2010). También se observó el IHC teniendo resultados satisfactorios IHC $>.30$ (Kline, 2005), además las comunalidades fueron aceptables en casi todos los ítems $h^2 >.30$ (Nunnally y Bernstein, 1995). Y no se encontró evidencias de multicolinealidad, $r <.90$ (Tabachnick y Fidell, 2001) En todos estos procedimientos se utilizó el Jamovi v. 1.6.7.

Para evaluar la estructura interna se utilizó el análisis factorial exploratorio, ya que fue un procedimiento usado en los antecedentes y que nos sería útil para evaluar la estructura del inventario. Primero se evaluó las medidas de adecuación muestral: el KMO siendo adecuado si es mayor que .80 (Sobh, 2008) y el Test de esfericidad de Bartlett que es adecuado cuando es $\leq .05$ (Pedroza y Dickovsy, 2006). Se extrajeron los factores con el método de Ejes Principales recomendado cuando se evidencian efectos “Suelo o techo” y rotación oblicua promax debido a que las escalas están correlacionadas entre sí (Lloret-Segura et al., 2014). Encontrándose para tres factores varianza explicada mayor al 45% y auto valores enteros, cumpliendo con los criterios clásicos de retención de factores de Kaiser (1958). Las cargas factoriales resultaron adecuadas $>.30$ (Worthington & Wittaker, 2006).

Después, con todas esas evidencias, en el aplicativo Jasp v.1.41 se realizó el Análisis Factorial Confirmatorio utilizando el método de extracción de Mínimos Cuadrados Ponderados Diagonalmente (DWLS) recomendado por Manzano y Zamora (2009), ante situaciones de ausencia de normalidad multivariada. Para

evaluar si el modelo tiene un adecuado ajuste se utilizó varios índices (Hooper et al., 2010): χ^2/df (< 3), SRMR ($\leq .08$), RMSEA ($\leq .08$), CFI ($\geq .95$), TLI ($\geq .95$), PNFI (próximo a 1).

Se evaluó la confiabilidad utilizando el coeficiente *omega multidimensional*, desarrollado por Cho (2016), el cual es indicado para el inventario dada su estructura en tres escalas correlacionadas que se puntúan por separado, los cálculos se desarrollan en una hoja de Excel de libre acceso creada por el autor (Cho, 2016). Los valores deben superar el estándar clásico de .70 (Viladrich et al, 2017)

En cuanto a la validez basada en la relación con otras variables, se correlacionó la sumatoria de cada una de las tres escalas del MBI-ES con los resultados de la *Escala de Satisfacción con la Vida* y la *Escala de Autoeficacia para el Afrontamiento del Estrés*, para ello se utilizó el coeficiente rho de Spearman debido a que no se encontró normalidad bivariada entre las puntuaciones (Hollander et al., 2013). Obteniéndose la fuerza de la correlación (r), el tamaño del efecto y la significancia ($p \leq .05$).

3.7. Aspectos éticos

Entre los documentos consultados, está la Declaración de Helsinki, redactada por La Asociación Médica Mundial (1964) la cual señala principios básicos para seguir cuando se realiza investigaciones con seres humanos donde se busca proteger a cada uno de los evaluados, manteniendo de manera confidencial la identidad de los involucrados, como también el otorgar la ficha del consentimiento informados a los evaluados con el propósito de evidenciar la voluntad que tuvieron al realizar la investigación, la libre participación y retirada del proceso de investigación e incluir la entrega de lo obtenido al finalizar el estudio, con fines de beneficio al participante y de transparencia.

En lo que respecta a investigación a través del internet, una guía importante es el Manual APA de ética en psicología, Vol 2: Práctica, enseñanza, e investigación (Hoerger & Currell, 2012) el cual analiza los riesgos y limitantes de la virtualidad, las indicaciones importantes que señala son: la selección de los canales (grupos de redes sociales etc), en el caso de aplicarse en estudiantes es debe primar la no coerción al momento de pedirles que participen, los medios utilizados para virtualizar los instrumentos deben garantizar seguridad de los datos, además en lo posible evitar generar estrés y desmotivación (problema principal a la hora de evaluar), y sobre todo garantizar la confidencialidad de los datos.

Otros valores importantes, para el presente estudio, son la beneficencia y la no maleficencia, es decir si no le generamos un provecho a los participantes evitemos hacerles daño tanto de manera directa o indirecta además de no aprovecharnos de ellos (Siurana, 2010).

IV. RESULTADOS

Tabla 1

Análisis estadístico de los ítems del MBI-ES

D	Ítems	0	1	2	3	4	5	6	M	DE	g^1	g^2	IHC	h^2	ID	α si se elimina ítem	Correlación entre ítems																
																	1	2	3	4	5	6	7	8	9								
D1	P 1	12.07	12.93	1.78	26.72	11.21	23.71	2.59	2.94	1.74	-1.04	-.22	.7	.72	0	.90	1.00	.82	.63	.49	.55	.43	.57	.32	.45								
	P 2	9.48	11.21	11.21	27.16	12.93	2.69	7.33	3.14	1.74	-.87	-.21	.7	.74	0	.90		1.00	.63	.47	.55	.43	.58	.32	.45								
	P 3	21.55	14.66	12.5	19.4	13.36	15.95	2.59	2.47	1.84	-1.24	.09	.71	.59	0	.90			1.00	.58	.62	.47	.48	.45	.50								
	P 4	41.38	16.38	9.48	19.83	7.33	4.74	.86	1.53	1.63	-.68	.7	.73	.62	0	.90				1.00	.65	.61	.53	.60	.59								
	P 5	42.67	18.97	11.21	13.36	6.47	5.6	1.72	1.46	1.67	-.17	.95	.77	.66	0	.90					1.00	.66	.58	.51	.63								
	P 6	56.47	15.95	8.62	11.64	4.31	2.59	.43	1.01	1.43	.74	1.31	.69	.6	0	.90						1.00	.61	.52	.59								
	P 7	32.76	22.41	11.64	15.09	9.48	5.17	3.45	1.75	1.74	-.48	.75	.71	.56	0	.90							1.00	.49	.58								
	P 8	44.83	25	14.22	9.91	3.02	1.72	1.29	1.12	1.36	1.59	1.36	.6	.48	0	.91								1.00	.60								
	P 9	46.55	21.98	12.93	9.91	5.17	1.29	2.16	1.18	1.48	1.24	1.33	.7	.61	0	.90									1.00								
																	10	11	12	13	14												
D2	P 10	87.93	4.74	2.59	2.16	2.16	0	.43	.28	.88	14.61	3.72	.58	.42	0	.63	1.00	.46	.35	.38	.43												
	P 11	68.53	14.66	4.31	5.17	2.16	2.16	3.02	.76	1.48	4.25	2.22	.47	.25	0	.65		1.00	.43	.22	.26												
	P 12	59.05	18.97	7.33	8.19	3.45	1.29	1.72	.89	1.39	2.69	1.77	.48	.4	0	.64			1.00	.26	.32												
	P 13	79.31	9.05	1.29	2.59	2.16	1.72	3.88	.6	1.48	6.21	2.69	.39	.21	0	.69				1.00	.33												
	P 14	73.28	17.24	3.88	2.59	1.72	.86	.43	.47	1	9.17	2.87	.45	.3	0	.66					1.00												
																	15	16	17	18	19	20	21	22									
D3	P 15	4.74	6.47	4.31	1.34	5.6	27.16	41.38	4.53	1.81	.23	-1.18	.37	.18	0	.8	1.00	.49	.19	.08	.22	.27	.35	.18									
	P 16	3.02	2.16	3.02	11.21	4.31	25.43	5.86	4.91	1.54	1.91	-1.6	.56	.36	0	.76		1.00	.37	.25	.39	.39	.30	.34									
	P 17	3.88	2.16	1.72	5.6	6.03	22.84	57.76	5.07	1.53	3.51	-2.02	.46	.28	0	.78			1.00	.25	.40	.36	.35	.26									
	P 18	.43	1.72	4.31	12.93	6.47	3.17	43.97	4.9	1.34	.77	-1.23	.44	.39	0	.78				1.00	.46	.41	.31	.39									
	P 19	.86	2.16	3.88	6.03	4.74	3.17	52.16	5.11	1.31	2.99	-1.83	.63	.51	0	.76					1.00	.55	.38	.51									
	P 20	1.29	1.29	1.29	9.05	7.33	29.31	5.43	5.09	1.26	3.42	-1.8	.63	.53	0	.76						1.00	.56	.43									
	P 21	.43	.43	1.29	6.9	4.31	28.02	58.62	5.33	1.05	4.56	-2.01	.56	.43	0	.77							1.00	.35									
P 22	2.59	2.16	3.45	8.19	8.62	28.88	46.12	4.89	1.47	2.19	-1.62	.52	.37	0	.77								1.00										

Nota: Frecuencia; M: Media; DE: Desviación estándar; g^1 : coeficiente de asimetría de Fisher; g^2 : coeficiente de curtosis de Fisher; IHC: Índice de homogeneidad; h^2 : Comunalidad; ID: índice de discriminación D: dimensión, D1: Agotamiento emocional, D2: Despersonalización, D3: Realización personal.

En la tabla 1 se muestra el análisis descriptivo de los ítems del MBI. Se observa que las siete alternativas solo los reactivos 1,2,3,4,5,6,7,8,9,15,18 presentan valores de asimetría y curtosis entre -1.5 y 1.5, además observamos un efecto suelo y techo en la mayoría de los ítems, ya que muestran además de una elevada asimetría altas frecuencias en valores bajos y altos. Así el índice de homogeneidad reportó valores mayores a .37, siendo adecuados: IHC $>.30$ (Kline, 2005). Las comunalidades fueron en casi todos los ítems adecuados $h^2 >.30$ (Nunnally y Bernstein, 1995), menos por los ítems 11, 13 y 15, que se mantuvieron ya que los valores eran cercanos al criterio. Se realizó una matriz de correlaciones Pearson como indicador de problemas de multicolinealidad, encontrándose valores adecuados $r < .90$ (Tabachnick y Fidell, 2001).

Tabla 2*Análisis factorial exploratorio del MBI-ES*

Ítems	Factor			h^2
	1	2	3	
AE1	.93			.72
AE2	.94			.74
AE3	.79			.59
AE4	.61			.62
AE5	.71			.66
AE6	.51			.60
AE7	.67			.56
AE8	.41			.48
AE9	.55			.61
D10		.59		.42
D11		.38		.25
D12		.46		.40
D13		.32		.21
D14		.51		.30
RP15			.42	.18
RP16			.59	.36
RP17			.50	.28
RP18			.29	.39
RP19			.65	.51
RP20			.59	.53
RP21			.48	.43
RP22			.56	.37
% varianza explicada	22.9	11.89	11.63	46.42
KMO	.89		Bueno	
Barlett	< .001		Óptimo	

Nota. Factorización con ejes principales con rotación promax, F1: Agotamiento emocional, F2: Despersonalización, F3: Realización personal

En la tabla 2, observamos que el KMO: .89, el cual al ser mayor que .8 es un valor adecuado (Sobh, 2008). El test de esfericidad de Bartlett: .001 es significativo lo que señala que los datos son adecuados para el desarrollo de un AFE (Pedroza y Dickovsy, 2006). El análisis paralelo encontró tres factores, que explican el 46.42% de la varianza cumpliendo con los criterios clásicos de retención de factores de Kaiser (1958). Las cargas factoriales resultaron adecuadas $>.30$ (Worthington & Wittaker, 2006), excepto por el ítem 18 que es cercano al criterio. El modelo encontrado coincide con la distribución teórica de las tres subescalas correlacionadas.

Tabla 3

Índices de ajuste del análisis factorial confirmatorio MBI-ES

	Ajuste absoluto				Ajuste incremental		Ajuste de Parsimonia	
	x^2/gl	SRMR	RMSEA	LOWER	UPPER	TLI	CFI	PNFI
MBI-ES	1.25	.08	.03	.017	.045	.99	.99	.84
Óptimos	< 3	.08	.08			.95	.95	Próximo a 1

Nota. x^2/gl : Chi-cuadrado/ grados de libertad, RMSEA: Raíz del residuo cuadrático promedio de aproximación SRMR: Raíz estandarizada del residuo cuadrático promedio, TLI: Índice de Tucker-Lewis, CFI: Índice de bondad de ajuste comparativo, PNFI: Índice de ajuste corregido por parsimonia.

Basado en el modelo original, se realizó un Análisis Factorial Confirmatorio. El método de extracción utilizado fue el Mínimos Cuadrados Ponderados Diagonalmente (DWLS) recomendado por Manzano y Zamora (2009). En la tabla 3 se observa los valores de índices de bondad de ajuste, los cuales resultaron óptimos $x^2/gl = 1.25$; TLI= .99; CFI= .99; PNFI= .84; RMSEA= .03 y SRMR=.08 (Ruiz et al., 2010).

Tabla 4*Análisis factorial confirmatorio del MBI-ES*

Ítems	F1	F2	F3
AE1	.71		
AE2	.70		
AE3	.73		
AE4	.76		
AE5	.82		
AE6	.75		
AE7	.76		
AE8	.65		
AE9	.76		
D10		.58	
D11		.58	
D12		.81	
D13		.35	
D14		.50	
RP15			.34
RP16			.49
RP17			.44
RP18			.75
RP19			.69
RP20			.76
RP21			.57
RP22			.62
F1	1		
F2	.54	1	
F3	-.56	-.67	1

Nota. F1: Agotamiento emocional, F2: Despersonalización, F3: Realización personal

Se observa en la tabla 4 las cargas factoriales del AFC del MBI-ES, las cuales resultaron adecuadas ($\geq .30$) según Worthington & Wittaker (2006). Además, se aprecian las correlaciones entre los factores, siendo grandes ($r > .50$) el que se observen correlaciones negativas demuestra que la escala de Realización personal está redactada de forma inversa en relación con las demás escalas.

Tabla 5*Evidencias de confiabilidad de las escalas del MBI*

	ω
Agotamiento emocional	.916
Despersonalización	.706
Realización Personal	.809
Multidimensional	.769

Nota. ω : Coeficiente Omega

El análisis de la confiabilidad se muestra en la tabla 5, se utilizó el coeficiente omega, resultando para Agotamiento emocional $\omega = .916$, Despersonalización $\omega = .706$, Realización Persona $\omega = .809$ y para todo el modelo $\omega = .769$. Todos ellos adecuados ya que $\omega \geq .70$ (Viladrich et al., 2017).

Tabla 6*Evidencias de validez relacionadas con otras variables*

MBI	rho	EAEAE			SWLS			
		TE	IC 95%		rho	TE	IC 95%	
			Lower	Upper			Lower	Upper
Agotamiento emocional	-.36 ***	.13	-.52	-.18	-.48 ***	.23	-.62	-.32
Despersonalización	-.42 ***	.17	-.57	-.24	-.41 ***	.17	-.56	-.23
Realización Personal	.33 ***	.11	.15	.50	.48 ***	.24	.32	.62

Nota. MBI, EAEAE: Escala de Autoeficacia para el afrontamiento al Estrés, SWLS: Escala de Satisfacción con la Vida, *** $p < .001$, r: coeficiente de correlación de Pearson, TE: Tamaño del efecto, IC: intervalo de confianza al 95%

Para la validez basada en la relación con otras variables, se utilizó el coeficiente rho de Spearman, pues el coeficiente de normalidad bivariada Shapiro Wilk no encontró distribución paramétrica ($p < .001$). Los resultados se presentan en la tabla 6, observamos que las tres sub-escalas del MBI presentan correlaciones

altamente significativas ($p < .001$), “Realización personal” se correlacionó de forma positiva ($r = .33$) con la Escala de Autoeficacia para el afrontamiento al Estrés (EAEAE) y la Escala de Satisfacción con la Vida (SWLS) $r = .48$; mientras que “Agotamiento emocional” se relacionó de forma negativa con EAEAE ($r = -.36$) y SWLS ($r = -.48$), “Despersonalización” se relacionaron de forma negativa con EAEAE ($r = -.42$) y SWLS ($r = -.41$). El tamaño del efecto obtenido fue medio para todas las correlaciones ($R^2 = .13$ a $.24$).

V. DISCUSIÓN

Esta investigación tuvo como finalidad el análisis de las evidencias psicométricas del inventario MBI-ES en español, en una muestra de docentes de Educación Básica Regular de Lima Metropolitana. Este instrumento fue elaborado por Maslach (1986) y traducido al español. El manual y los antecedentes indican que el instrumento compuesto por 22 ítems, estructurado en tres escalas diferenciadas relacionadas entre sí (Agotamiento emocional, despersonalización y realización personal). Los resultados demuestran óptimas evidencias de validez y confiabilidad.

El análisis estadístico de los ítems encontró valores fuera de los criterios (+/- 1.5) para la asimetría y curtosis, en las preguntas 10, 11, 13 y 14. Se observó efecto suelo, esto evidencia desviación normalidad multivariada (Pérez y Medrano ,2010). En cuanto al índice de homogeneidad corregida y las comunalidades se cumplió con el criterio IHC $>.30$, $h^2 >.30$ (Kline, 2005; Tabachnick & Fidell, 2001), a excepción de los ítems 11, 13 y 15, que se mantuvieron ya que los valores eran cercanos al criterio.

Se continuó a analizar la estructura del instrumento, utilizando para ello el análisis factorial exploratorio, inicialmente se realizó las pruebas de adecuación muestral (KMO = .90, $p=.001$), estos valores indicaron que si es apto para desarrollar el análisis factorial (Kaiser, 1974). Se utilizó el método de extracción de ejes principales, recomendado cuando no se encuentra normalidad multivariada (Lloret-Segura et al., 2014). Los factores hallados se correspondieron a las tres escalas, siendo estables en base al nivel de los pesos factoriales (Ferrando y Lorenzo, 2014) y explica el 47.6% de la varianza. Resultados similares obtuvieron Aranda et al., (2016) con el MBI HS en trabajadores con un KMO de .84, $p < .001$. y 41.6% varianza; Alvarado (2009) consiguió valores de KMO .77, $p < .05$ y, 45.5%. en educadores costarricenses, Buzetti (2005) en docentes chilenos, un KMO =.807, $p < .05$ y una varianza de 52,46 %.

En relación con el marco teórico, la estructura factorial hallada se corresponde con los diferentes modelos basados en el MBI, que identifican dentro

del Burnout tres dimensiones o componentes diferenciados de Agotamiento emocional, Despersonalización y Realización Personal, coincidiendo con el modelo base desarrollado por Maslach y Jackson (1981) y el núcleo del modelo Procesual de Leiter (Maslach et al., 1996). A favor de ello Maslach y Jackson (1997) revisaron diferentes estudios en los cuales se reportan la misma organización en tres factores.

Luego de encontrado el modelo, se realizó el análisis factorial confirmatorio, en base al modelo de tres escalas correlacionadas, el método de extracción utilizado fue de Mínimos Cuadrados Ponderados Diagonalmente (DWLS). Para evaluar el ajuste del modelo, se utilizó varios índices de ajuste resultando adecuados según Hooper et al. (2010): $\chi^2/df = 1.25$; TLI= .99; CFI= .99; PNFI= .84; RMSEA= .03 y SMR=.08. Otros autores también hallaron un buen ajuste, en contexto nacional Yslado-Méndez (2020) quienes consiguieron valores en los índices de ajuste de RMSEA = .07, CFI = .87, TLI = .86 NFI = .77. y Arias et al. (2019) $\chi^2 = 674.4$, $df = 167$, RMSEA= .07, SRMR= .07 y CFI= .92. En cambio, en investigaciones internacionales, el modelo de 3 factores correlacionados tiene menor evidencia a su favor: Vukmirovic et al. (2020) encontraron valores fuera del criterio TLI= .82, CFI= .84, RMSEA= .08; así como Aboagye et al. (2018) que hallaron $\chi^2/df = 2.53$, CFI= .91, TLI= .9. Incluso Sziget et al. (2017) y Hawrot y Koniewski (2017) encontraron un mayor ajuste para un modelo bifactor, es decir por un lado tienen un factor que agrupa a todos los ítems y por otro lado los tres que ya conocemos. Quizá una explicación de tal diferencia sea el método de extracción utilizado, que en ellos fue más estricto (Máxima verosimilitud).

Por otro lado, se evaluó la confiabilidad del instrumento por el método de consistencia interna, al ser un inventario con escalas diferenciadas, correlacionadas entre sí, se utilizó el coeficiente Omega (Cho, 2016), siendo este más adecuado ya que los coeficientes como el alfa están diseñados con el supuesto de unidimensionalidad y de tau equivalencia que no se han cumplido. Así se obtuvo para Agotamiento emocional $\omega = .916$, Despersonalización $\omega = .706$, Realización Personal $\omega = .809$ y para todo el modelo $\omega = .769$. Todos ellos adecuados ya que superan el valor mínimo convencional de .70 (Viladrich et al., 2017). En relación con ello encontraron resultados similares, Aranda et al. (2009) $\alpha = .92$ para AE, D α

=.76 y RP de $\alpha = .55$; Yslado-Méndez (2020) encontró para AE $\omega = .86$, para D $\omega = .64$ y RP un $\omega = .79$.

Los resultados de la validez basada en la relación con otras variables, observamos que las tres escalas del MBI presentan correlaciones altamente significativas ($p < .001$), “Realización personal” se correlacionó de manera positiva con la Escala de Autoeficacia para el afrontamiento al Estrés (EAEAE) y la Escala de Satisfacción con la Vida (SWLS); mientras que “Agotamiento emocional” y “Despersonalización” se relacionaron de forma negativa con EAEAE y SWLS, cada tamaño del efecto obtenido fue medio ($R^2 = .13$ a $.24$) para todas las correlaciones. Esto es una muestra de la correspondencia de lo que contempla teóricamente, pues una persona realizada, se sentirá satisfecha con su ritmo de vida y afrontará con autoeficacia las situaciones estresores. En cambio, aquél que está agotado emocionalmente, “quemado”, siente que es distinto con actitudes negativas, pues no está satisfecho ni ha logrado ser autoeficaz. Al respecto Calderón-De la Cruz et al. (2018) relacionaron la escala de SWLS con el MBI-GS una versión similar que también establece tres factores, encontrando resultados que se corresponden con los hallados ya que las relaciones fueron altamente significativas ($p \leq .001$) negativas con *Agotamiento Emocional* ($r = -.39$) e *Indiferencia* ($r = -.35$) y positiva con *Eficacia profesional* ($r = .44$).

Entre las limitaciones podemos encontrar que no se ha realizado un análisis de la redacción de los ítems, ni de cómo ello se valora tanto teóricamente como por la población objetivo (Urrutia et al., 2014). Cuestiones importantes que deberían analizarse en próximos trabajos. Además de que la muestra no fue aleatoria ni representativa de la población, lo que en próximos estudios debería tomarse en cuenta para poder generar valores referentes en la corrección del instrumento.

VI. CONCLUSIONES

PRIMERA: Se demostró que la versión en español del MBI- ES, aplicada en una población de 232 docentes de Lima Metropolitana, cuenta con adecuadas evidencias psicométricas para su aplicación.

SEGUNDA: El análisis estadístico de los ítems encontró tendencia de respuesta de los docentes hacia alternativas menores.

TERCERA: Se encontraron evidencias en base a la validez de la estructura interna del instrumento, hallándose un adecuado ajuste para los tres factores de Agotamiento emocional, Despersonalización y Realización Personal.

CUARTA: La confiabilidad de las puntuaciones del inventario resultó adecuada para cada escala de Agotamiento emocional $\omega=.916$, Despersonalización $\omega =.706$ y Realización Personal $\omega =.809$.

QUINTA: Se obtuvieron evidencias de validez basada en la relación con las escalas de Auto Eficacia para el Afrontamiento del Estrés y Satisfacción con la Vida.

VII. RECOMENDACIONES

PRIMERA: Se recomienda que en las instituciones que brindan servicios educativos o a educadores usar del MBI-ES ya que es un instrumento que tiene evidencias adecuadas de validez y confiabilidad.

SEGUNDA: En base a la evaluación del burnout se podrán construir programas y talleres para mejorar la experiencia de enseñanza-aprendizaje, de beneficio para la comunidad académica.

TERCERA: Llevar a cabo otros estudios en otros contextos con la finalidad de seguir aportando evidencias a favor de la validez de la MBI-ES.

CUARTA: Se sugiere revisar la redacción de los ítems, en especial los que componen la dimensión despersonalización ya que presentó las menores medidas de confiabilidad y de saturación factorial.

QUINTA: Realizar otros procedimientos psicométricos, como el análisis de la invarianza o evaluar la especificidad-sensibilidad que permitirán ampliar las evidencias a favor de la escala y su utilidad práctica.

REFERENCIAS

- Abarca, C., Ramírez, L., & Caycho-Rodríguez, T. (2020). Inteligencia emocional y burnout en docentes de educación inicial de Ayacucho. *Apuntes Universitarios: Revista de Investigación*, 10(2), 30–45. <https://doi.org/10.17162/au.v10i2.438>
- Aboagye, M., Qin, J., Qayyum, A., Antwi, C., Jababu, Y., & Affum-Osei, E. (2018). Teacher burnout in pre-schools: A cross-cultural factorial validity, measurement invariance and latent mean comparison of the Maslach Burnout Inventory, Educators Survey (MBI-ES). *Children and Youth Services Review*, 94, 186-197. <https://doi.org/10.1016/j.childyouth.2018.09.041>
- Abós et. al. (2019). Examining the psychometric properties of the Burnout Clinical Subtype Questionnaire (BCSQ-12) in secondary school teachers. *Revista Current Psychology*, 1(18).
- Alvarado, M., Domínguez, M., Díaz, R., & Ortiz, E. (2009). Síndrome de Burnout y factores psicosociales del personal de enfermería al cuidado del paciente oncológico. *CONAMED*, 14(1), 28-33.
- American Educational Research Association, American Psychological Association, & National Council on Measurement in Education. (2018). *Estándares para Pruebas Educativas y Psicológicas*. Washington, DC: American Educational Research Association. <https://doi.org/10.2307/j.ctvr43hg2>
- American Psychological Association. (2010). *APA. Diccionario conciso de Psicología*. Editorial El Manual Moderno.
- Aranda, C., Pando, M., & Salazar, J. G. (2016). Confiabilidad y validación de la escala Maslach Burnout Inventory (Hss) en trabajadores del occidente de México. *Revista Salud Uninorte*, 32(2), 218-227.
- Arias, W., & Arias, G. (2014). Relación entre el clima organizacional y la satisfacción laboral en una pequeña empresa del sector privado. *Ciencia & trabajo*, 16(51), 185-191. <https://dx.doi.org/10.4067/S0718-24492014000300010>

- Arias, W., Huamani, J., & Ceballos, K. (2019). *Burnout Syndrome in School teachers and University Professors: A Psychometrical and Comparative Analysis from Arequipa City Síndrome de Burnout en profesores de escuela y universidad: un análisis psicométrico y comparativo en la ciudad de Arequipa*. *Revista Propósitos y Representaciones*, 7(3).
- Asociación Médica Mundial (1964). *Declaración de Helsinki*.
- Ato, M., López-García, J. J., & Benavente, A. (2013). Un sistema de clasificación de los diseños de investigación en psicología. *Anales de Psicología / Annals of Psychology*, 29(3), 1038–1059. <https://doi.org/10.6018/analesps.29.3.178511>
- Baena, G. (2017). *Metodología de la investigación* (3ª ed.). Grupo Editorial Patria.
- Bernal, C. (2010). *Metodología de la investigación. Administración, economía, humanidades y ciencias sociales* (3ra ed.). Pearson Educación.
- Blanco, M. y
- Broche-Pérez, Y., Fernández-Castillo, E., & Reyes, D. (2021). Consecuencias psicológicas de la cuarentena y el aislamiento social durante la pandemia de COVID-19. *Revista Cubana De Salud Pública*, 46(1).
- Buzzetti, M. (2005). *Validación del Maslach Burnout Inventory (MBI) en dirigentes del colegio de profesores a. G. de Chile*. (Tesis para optar por el grado de psicología). Universidad de Chile-Chile. <http://repositorio.uchile.cl/handle/2250/137677>
- Calderón-De la Cruz, G., Chávez, F. L., Carthy, A. C., & Carlos, L. I. (2018). Validación de la Escala de Satisfacción con la Vida en trabajadores peruanos. *LIBERABIT. Revista Peruana de Psicología*, 24(2), 249-264. <https://doi.org/10.24265/liberabit.2018.v24n2.06>
- Carlín, M. (2014). *El Síndrome de Burnout: comprensión del pasado, análisis del presente y perspectivas de futuro*. Wanceulen SL.
- Casallas, J., Rodríguez, A., & Ladino, A. (2017). *Revisión teórica: el estado actual de las investigaciones sobre el síndrome de Burnout en docentes de*

- Latinoamérica de habla hispana, entre los años 2010 al 2017* (Tesis de grado). Corporación Universitaria Minuto de Dios.
- Casas, J., Repullo, J. y Donado, J. (2003). La encuesta como técnica de investigación. Elaboración de cuestionarios y tratamiento estadístico de los datos. *Aten Primaria* 31(8), 5277-38.
- Catena, A., Ramos, M. y Trujillo, H. (2003). *Análisis multivariado*. Editorial Biblioteca Nueva.
- Celio, J. (2021). Burnout y satisfacción con la vida en docentes que realizan clases virtuales en un contexto de pandemia por covid-19. *PURIQ*, 3 (1). <https://doi.org/10.37073/puriq.3.1.142>
- Chalghaf et. al. (2019). Development and Preliminary Validation of the “Teacher of Physical Education Burnout Inventory” (TPEBI) in Arabic Language: Insights for Sports and Occupational Psychology. *Revista Frontiers in Psychology*, 15(56).
- Cherniss, C. (1993). *The role of professional self-efficacy in the etiology of burnout*. Taylor & Francis
- Cho, E. (2016). *How to obtain and use RelCalc*. Relcalc.blogspot.com.
- Diener, E., Emmons, R. A., Larsen, R. J., & Griffin, S. (1985). The Satisfaction With Life Scale. *Journal of personality assessment*. 49. 71-75. http://dx.doi.org/10.1207/s15327752jpa4901_13
- El Instituto Peruano de Economía (2020). Educación en los tiempos del covid-19. <https://www.ipe.org.pe/portal/educacion-en-los-tiempos-del-covid-19-aprendo-en-casa/>
- ESCALE. (2021). *MAGNITUDES DE LA EDUCACIÓN EN EL PERÚ - 2. Docentes*.
- Ferrando, P., & Lorenzo-Seva, U. (2014). El análisis factorial exploratorio de los ítems: algunas consideraciones adicionales. *Anales De Psicología/Annals of Psychology*, 30(3), 1170-1175. <https://doi.org/10.6018/analesps.30.3.199991>
- Freudenberger, H. (1974). *Staff burnout*. *Journal of Social Issues*, 30(1), 159-165.
- Gil-Monte, P. y Peiró, J. (1997). Desgaste psíquico en el trabajo: el síndrome de quemarse. *Anales de Psicología*, 2 (15), 261-268.

- Gil-Monte, P. y Peiró, J. (1999). *Perspectivas teóricas y modelos interpretativos para el estudio del síndrome de quemarse por el trabajo*. Universidad de Murcia. España.
- Gil-Monte, P., & Peiró, J. (1999). Perspectivas teóricas y modelos interpretativos para el estudio del síndrome de quemarse por el trabajo. *Anales De Psicología*, 15(2), 261.
- Godoy-Izquierdo, D., Godoy, J., López-Chicheri, I., Martínez, A., Gutiérrez, S. y Vázquez, L. (2008). Propiedades psicométricas de la escala de autoeficacia para el afrontamiento del estrés (EAEAE). *Psicothema*, 20(1), 155-165.
- González, M., & Landero, R. (2008). Confirmación de un modelo explicativo del estrés y de los síntomas psicósomáticos mediante ecuaciones estructurales. *Revista Panamericana De Salud Pública*, 23(1). <https://doi.org/10.1590/s1020-49892008000100002>
- Hair, J., Black, W., Babin, B. y Anderson, R. (2014). *Análisis de datos multivariados* (7ª ed.). Pearson Education Limited.
- Hawrot, A., Koniewski, M. (2017). Factor Structure of the Maslach Burnout Inventory-Educators Survey (MBI-ES) in a Polish-speaking Sample. *Journal of Career Assessment*, 26, 515-530, <http://dx.doi.org/10.1177/1069072717714545>
- Hernández, R., Fernández, C. y Baptista, M. (2014). *Metodología de la investigación*. McGraw-Hill.
- Hernández, T., Terán, O., Navarrete, D., & León, A. (2007). El síndrome de Burnout: una aproximación hacia su conceptualización, antecedentes, modelos explicativos y de medición. *Revista Internacional La Nueva Gestión Organizacional*, 5(3), 51-68.
- Hobfoll, S. & Freedy, J. (1993). *Conservation of resources: A general stress theory applied to burnout*. Taylor & Francis.
- Hoerger, M., & Currell, C. (2012). Ethical issues in Internet research. In Knapp, J., Gottlieb, M., Handelsman, M., & VandeCreek, L. (Eds.), *APA handbook of ethics in psychology, 2. Practice, teaching, and research*

(pp. 385–400). American Psychological Association.
<https://doi.org/10.1037/13272-018>

Hollander, M., Wolfe, D. y Chicken, E. (2013). *Métodos estadísticos no paramétricos*. John Wiley e hijos.

Hooper, C., Craig, J., Janvrin, D. R., Wetsel, M. A., & Reimels, E. (2010). Compassion satisfaction, burnout, and compassion fatigue among emergency nurses compared with nurses in other selected inpatient specialties. *Journal of emergency nursing*, 36(5), 420-427.
<https://doi.org/10.1016/j.jen.2009.11.027>

Instituto de Democracia y Derechos Humanos (2020). *Una nueva pandemia en el mundo globalizado: el coronavirus CoV-2 y su expansión internacional*.
<https://idehpucp.pucp.edu.pe/notas-informativas/una-nueva-pandemia-en-el-mundo-globalizado-el-coronavirus-cov-2-y-su-expansion-internacional/>

Kaiser, H. (1958). The varimax criterion for analytic rotation in factor analysis. *Psychometrika*, 23(3), 187-200.
<http://dx.doi.org/10.1007/BF02289233>

Kaiser, H. (1974). An index of factorial simplicity. *Psychometrika*, 39(1), 31-36.

Kline, T. (2005). *Psychological testing: A practical approach to design and evaluation*. Sage.

Lafuente, C. & Marín, A. (2008). Metodologías de la investigación en las ciencias sociales: Fases, fuentes y selección de técnicas. *Revista escuela de administración de negocios*, (64), 5-18.

Lloret-Segura, S., Ferreres-Traver, A., Hernández-Baeza, A., & Tomás-Marco, I. (2014). El análisis factorial exploratorio de los ítems: una guía práctica, revisada y actualizada. *Anales de Psicología/Annals of Psychology*, 30(3), 1151-1169. <https://dx.doi.org/10.6018/analesps.30.3.199361>

Manzano, A. y Zamora, S. (2009) *Sistema de ecuaciones estructurales: una herramienta de investigación*. Ceneval.

- Maslach, C. (1976). Burned-out. *Human Behavior*, 9, 16-22.
- Maslach, C. (1986). Stress, burnout, and workaholism. In Kilburg, K., Nathan, R., & Thoreson, W. (Eds.), *Professionals in distress: Issues, syndromes, and solutions in psychology* (pp. 53–75). American Psychological Association. <https://doi.org/10.1037/10056-004>
- Maslach, C., y Jackson, S. (1981). The measurement of experienced burnout. *Journal of Occupational Behavior*, 12, 99-113
- Maslach, C., Jackson, S. & Leiter, M. (1996). *MBI: The Maslach Burnout Inventory: Manual*. Consulting Psychologists Press.
- Maslach, C., & Jackson, S. (1997). *MBI: Inventario "Burnout" de Maslach: Manual*. TEA.
- Meneses, J., Barrios, M., Bonillo, A., Cosculluela, A., Lozano, A., Turbany, L., & Valero, S. (2013). *Psicometría*. UOC.
- Ministerio de Salud. (2020). *Cuidado de la salud mental del personal de salud y sector educativo en el contexto del COVID-19*.
- Ministerio de Salud. (2020). *Plan de Salud Mental Perú, 2020 - 2021*. Lima.
- Mohebbi, et. al. (2019). Burn out among Iranian dental teachers: psychometric properties of burnout clinical subtype questionnaire (BCSQ-12-SS) and its correlates. *Revista BMC Medical Education*, 388(12).
- Mouzo, J. (2019). El 'burnout' toma peso en la lista de dolencias de la OMS. *El País*. https://elpais.com/sociedad/2019/05/27/actualidad/1558956228_933147.html.
- Muñiz, J., Elosua, P., & Hambleton, R. K. (2013). Directrices para la traducción y adaptación de los tests: segunda edición. *Psicothema*, 25(2), 151-157.
- Nunnally, J.C. & Bernstein, I.J. (1995). *Teoría psicométrica* (3ª ed). Editorial McGrawHill Latinoamericana.
- Muñiz, J. (2010). Las teorías de los Test: Teoría clásica y Teoría de Respuesta a los Ítems. *Papeles Del Psicólogo*, 31 (1).
- Ñaupas, et. al. (2014). *Metodología de la investigación. Cualitativa – cualitativa y redacción de tesis (4ta ed.)*. Ediciones de la U.

- Organización Internacional del trabajo (2020). *Programa de reuniones de la OIT para 2020 y 2021*. https://www.ilo.org/gb/WCMS_125422/lang-es/index.html
- Organización Mundial de la Salud (2019). *La organización del trabajo y el estrés*. https://www.who.int/occupational_health/publications/pwh3sp.pdf?ua=1
- Pavot, W., & Diener, E. (2008) The Satisfaction with Life Scale and the emerging construct of life satisfaction. *The Journal of Positive Psychology: Dedicated to furthering research and promoting good practice*, 3, 137-152. doi:10.1080/17439760701756946
- Pedroza, H. & Dicovskyi, L. (2006). *Sistema de Análisis Estadístico con SPSS*. (1a ed.). IICA.
- Pérez, E. R., & Medrano, L. A. (2010). Análisis factorial exploratorio: bases conceptuales y metodológicas. *Revista Argentina de Ciencias del Comportamiento (RACC)*, 2(1), 58-66.
- Pinel-Martínez, C., Pérez-Fuentes, M., & Carrión-Martínez, J. (2019). Investigación sobre el Burnout en docentes españoles: Una revisión sobre factores asociados e instrumentos de evaluación. *Bordón. Revista de Pedagogía*, 71 (1). <https://doi.org/10.13042/bordon.2019.62122>
- Quinceno, J. y Vinaccia, S. (2007). Burnout: "Síndrome de quemarse en el trabajo (SQT)". *Acta Colombiana de Psicología*, 10 (2).
- Ramos, F., Manga, D. & Morán, C. (2005). Escala de cansancio emocional (ECE) para estudiantes universitarios: Propiedades psicométricas y asociación. *Interpsiquis*. <http://www.psiquiatria.com/articulos/estres/20478/>
- Rossi et. al. (2020). Burnout syndrome in university professors and academic staff members: psychometric properties of the Copenhagen Burnout Inventory–Brazilian version. *Revista Psicología: Reflexão e Crítica*, 33(11). <https://link.springer.com/article/10.1186/s41155-020-00151-y>
- Ruiz, M., Pardo, A., & San Martín, R. (2010). Modelos de ecuaciones estructurales. *Papeles del psicólogo*, 31(1), 34-45.

- Saborío, L., & Hidalgo, L. (2015). Síndrome de Burnout. *Medicina Legal De Costa Rica*, 32 (1).
- Salcedo, H., Cárdenas, Y., Carita, L. y Ledesma, M. (2020). Síndrome de Burnout en docentes en un contexto de emergencia sanitaria, Lima. *Revista De Investigación Científica Y Tecnológica Alpha Centauri*, 1 (3).
- Sánchez, H. & Delgado, A. (2014). *Principios, Leyes y Conceptos Fundamentales de la Psicología*. Editorial Business Support Aneth.
- Sánchez, H., Reyes, C., & Mejia, K. (2018). *Manual de términos en investigación científica, tecnológica y humanística*. Universidad Ricardo Palma. <http://repositorio.urp.edu.pe/handle/URP/1480>
- Schaufeli, W., et. al, (2002). Burnout and engagement in university students: A cross-national study. *Journal of Cross – Cultural Psychology*, 33 (5), 464
- Sobh, T. (2008). *Advances in computer and information sciences and engineering*. Springer Science & Business Media.
- Supo, J. (2014). *Como elegir una muestra-Técnicas para seleccionar una muestra representativa*. Bioestadístico EIRL.
- Szigeti, et. al. (2017). Burnout and depressive symptoms in teachers: Factor structure and construct validity of the Maslach Burnout inventory-educators survey among elementary and secondary schoolteachers in Hungary. *Revista Wiley*, 1(10).
- Tabachnick, B. & Fidell, L. (2001). *Using multivariate statistics*. Harper & Row.
- Tabares-Díaz, Y., Martínez-Daza, V., & Matabanchoy-Tulcán, S. (2020). Síndrome de Burnout en docentes de Latinoamérica: Una revisión sistemática. *Universidad Y Salud*, 22 (3), 265-279. <https://doi.org/10.22267/rus.202203.199>
- Thompson, M., Page, S. y Cooper, C. (1993). A test of Carver and Scheier's selfcontrol model of stress in exploring burnout among mental health nurses. *Stress Medicine*. 9(4), 221-235.
- Trusch et. al. (2020). Psychometric Properties of the Copenhagen Burnout Inventory in an Academic Healthcare Institution Sample in the U.S. *SAGE Journals*, 43(2).

- Ugalde, J. y Molestina, C. (2018). Burnout en docentes de la Facultad de Ingeniería Industrial de la Universidad de Guayaquil-Ecuador Burnout in teachers of the faculty of industrial engineering of the University of Guayaquil-Ecuador. *Revista Espacios*, 39(52).
- Urrutia, M., Barrios, S., Gutiérrez, M., & Mayorga, M. (2014). Métodos óptimos para determinar validez de contenido. *Educación Médica Superior*, 28(3).
- Viladrich, C., Angulo-Brunet, A., & Doval, E. (2017). Un viaje alrededor de alfa y omega para estimar la fiabilidad de consistencia interna. *Anales de Psicología / Annals of Psychology*, 33(3), 755–782. <https://doi.org/10.6018/analesps.33.3.268401>
- Villalpando, P. (2012). *El proyecto de investigación. Introducción a la metodología científica*. Dykinson.
- Vukmirovic et. al. (2020). The Burnout Syndrome in Medical Academia: Psychometric Properties of the Serbian Version of the Maslach Burnout Inventory—Educators Survey. *Revista International Journal of Environmental Research and Public Health*, 17(56). <https://doi:10.3390/ijerph17165658>
- Winnubst, J. A. (1993). “Organizational structure, social support, and Burnout”. En Schaufeli, W.B., Maslach, C. y Marek, T. (Eds.): *Professional Burnout: Recent developments in theory and research*, 151-162. Taylor & Francis.
- Worthington, R. L., & Whittaker, T. A. (2006). Scale Development Research: A Content Analysis and Recommendations for Best Practices. *The Counseling Psychologist*, 34(6), 806–838. <https://doi.org/10.1177/0011000006288127>
- Yslado-Méndez, R., Ramirez, E. & García, M. (2021). Propiedades psicométricas del cuestionario burnout para profesores universitarios en una muestra peruana. *Archivos de Medicina (Manizales)*, 21(2). <https://doi.org/10.30554/archmed.21.2.3983.2021>

ANEXOS

Anexo 1: Matriz de consistencia

PROBLEMA	OBJETIVOS	VARIABLES E INDICADORES			
<p>¿Cuáles son las propiedades psicométricas del Inventario de Burnout MBI-ES en profesores de educación básica regular de Lima Metropolitana, 2021?</p> <p>Tipo y Diseño de investigación</p> <p>Tipo de investigación</p> <p>El trabajo de investigación realizado es de tipo psicométrico, ya que tiene la finalidad de evaluar y describir las evidencias de validez y confiabilidad de un test psicológico (Muñiz et al., 2013).</p> <p>Diseño de investigación</p> <p>El estudio corresponde al diseño instrumental, que se plantea cuando se busca analizar las propiedades</p>	<p>Objetivo General</p> <p>Determinar las evidencias psicométricas del Inventario de Burnout MBI-ES en profesores de educación básica regular de Lima Metropolitana, 2021.</p> <p>Objetivos Específicos:</p> <p>Dentro de los objetivos específicos se encuentra:</p> <p>Realizar el análisis estadístico de los ítems del Inventario de Burnout MBI-ES en profesores de educación básica regular Lima Metropolitana, 2021.</p> <p>Identificar evidencias de validez de la estructura interna del Inventario de Burnout MBI-ES en profesores de educación básica regular de Lima Metropolitana, 2021</p> <p>Evaluar las evidencias de confiabilidad del Inventario de Burnout MBI-ES en profesores de Lima Metropolitana de educación básica regular, 2021</p> <p>Evaluar las evidencias de validez relacionadas a otras variables del Inventario de Burnout MBI-ES en profesores de educación básica regular de Lima Metropolitana, 2021.</p> <p>Población y muestra</p> <p>Población:</p>	<p>Variable: Síndrome de burnout</p>			
	<p>Dimensiones</p> <p>Agotamiento</p>	<p>Indicadores</p> <p>Se define como una reacción intrapersonal que ya no puede dar más de sí mismo a nivel emocional.</p>	<p>Ítems</p> <p>1 al 9</p>		
	<p>Dimensiones</p> <p>Despersonalización</p>	<p>Indicadores</p> <p>Es la reacción distante ante el trabajo, a los compañeros y todo lo relacionado Al trabajo afectando el área social.</p>	<p>Ítems</p> <p>10 al 14</p>		Ordinal
		<p>Dimensiones</p> <p>Realización</p>	<p>Indicadores</p> <p>Es la sensación de no ser competente en el área laboral y no lograr sus metas profesionales.</p>	<p>Ítems</p> <p>15 al 22</p>	

psicométricas de los test o instrumentos psicológicos, ya sea para construirlos, adaptarlos, validarlos o estandarizarlos (Ato et al., 2013).

Es al total de sujetos u objetos que poseen atributos comunes entre sí y que permite distinguirse de otros, estos criterios se pueden evidenciar u observar y permiten al investigador analizarlas y categorizarlas (Sánchez, et al, 2018). Para el presente estudio fueron docentes de educación básica regular, pertenecientes a instituciones educativas de administración públicos y privados de Lima Metropolitana. Se estima que son aproximadamente 116200 profesores (ESCALE, 2021).

Muestra:

En investigación, el concepto de muestra hace alusión a la fracción significativa de la población objeto, el cual se identifica por poseer similares características y atributos cuantitativos y cualitativos de la población general de estudio (Sánchez et al., 2018). El tamaño de la muestra fue de 232, la cual cumple con los criterios, para análisis factorial confirmatorio, de Catena et a. (2003) que aconseja ocho sujetos por variable observada y Hair et al. (2014) que aconseja 10 y un mínimo de 200, siendo entonces $10 \times 22 = 220$.

Muestreo:

El muestreo es el procedimiento específico para abstraer la muestra de estudio de la población general, con la finalidad de analizarla y posteriormente realizar una inferencia y aproximación sobre la realidad de la población (Sánchez, et al, 2014). Para el estudio fue de tipo no probabilístico con la técnica bola de nieve, ya que la muestra va incrementándose simultáneamente en la medida que el investigador contacta a un participante y este a su vez se comunica con un grupo mayor de participantes con similares características determinadas y de esta manera se incrementa la muestra de estudio (Supo, 2014).

Propiedades psicométricas

La validez de la estructura interna se evaluó con los procedimientos de análisis factorial exploratorio y confirmatorio; se hizo un análisis de confiabilidad utilizando el omega multidimensional de Cho; y finalmente se correlacionó las puntuaciones con las escalas AEAEA y SWLS para evaluar la validez en relación con otros constructos.

Presentación de datos

Se presentará las tablas de validez y confiabilidad para describir las propiedades psicométricas del MBI-ES, en concordancia a los formatos de la institución y el manual APA 7ma edición.

Anexo 2: Operacionalización de variables

VARIABLES	DEFINICIÓN CONCEPTUAL	DEFINICIÓN OPERACIONAL	DIMENSIONES	INDICADORES	ITEMS	ESCALA	VALOR FINAL
Síndrome de Burnout	Es el un conjunto de síntomas tanto físicos como emocionales que provocan un desgaste en el sujeto, despersonalización y baja realización en los colaboradores de un centro laboral, en donde usualmente hay más contacto de forma directa con las personas e intercambio de funciones de forma frecuente (Maslach y Jackson, 1981).	Son las puntuaciones obtenidas de la aplicación del Inventario de Burnout de Maslach: Encuesta para Educadores (MBI-ES) de Maslach et al., (1986)	Agotamiento Emocional	Se define como una reacción intrapersonal que ya no puede dar más de sí mismo a nivel emocional.	1 al 9	Likert	Para describir el Síndrome de Burnout, se debe obtener como resultados el Agotamiento emocional y <i>despersonalización</i> alto y Realización profesional bajo.
			Despersonalización	Es la reacción distante ante el trabajo, a los compañeros y todo lo relacionado Al trabajo afectando el área social.	10 al 14		
			Realización profesional	Es la sensación de no ser competente en el área laboral y no lograr sus metas profesionales.	15 al 22		

Anexo 3: Instrumentos

MBI-ES

Maslach, C. (1986)

(Versión traducida al español Mind Garden Inc.)

Por favor, lea cuidadosamente cada pregunta y responda como se ha sentido usted, si nunca se ha sentido, así como señala la pregunta marque '0' y en caso de que sí se haya sentido así indique la frecuencia de ello, para eso tendrá en cuenta el número que aparece en la siguiente escala (1 al 6).

0	1	2	3	4	5	6
Ninguna vez	Alguna vez al año o menos	Una vez al mes o menos	Algunas veces al mes	Una vez por semana	Pocas veces por semana	Todos los días

	0	1	2	3	4	5	6
1. Me siento agotado/a emocionalmente por mi trabajo							
2. Me siento agotado/a al final del día de trabajo.							
3. Me siento fatigado/a al levantarme por la mañana para enfrentarme a otro día de trabajo.							
4. Trabajar con gente todo el día es realmente un esfuerzo para mí.							
5. Me siento completamente agotado/a por mi trabajo.							
6. Me siento muy frustrado/a con mi trabajo.							
7. Siento que trabajo demasiado fuerte							
8. Trabajar directamente con la gente me produce causa demasiado estrés							
9. Me siento como si estuviera al borde del abismo							
10. Siento que trato a algunos de mis estudiantes como si							

fueran objetos impersonales.							
11. Me he vuelto más áspero/a desde que estoy en este trabajo							
12. Me preocupa que este trabajo me esté endureciendo emocionalmente							
13. Realmente no me importa lo que ocurra con algunos estudiantes.							
14. Siento que mis estudiantes me culpan por algunos de sus problemas.							
15. Puedo entender fácilmente cómo se sienten mis estudiantes en cuanto a las cosas.							
16. Trato los problemas de mis estudiantes con mucha eficacia.							
17. Siento que con mi trabajo influyo positivamente en la vida de otras personas.							
18. Me siento muy enérgico/a							
19. Puedo crear fácilmente una atmósfera relajante con mis estudiantes							
20. Me siento muy animado/a luego de trabajar con mis estudiantes							
21. He logrado muchas cosas valiosas en este trabajo							
22. En mi trabajo, trato los problemas emocionales con mucha calma							

Escala de Auto Eficacia para el Afrontamiento del Estrés EAEAE

Débora Godoy (2008)

A continuación, encontrarás una secuencia de oraciones que expresa como solemos responder ante los problemas o sobre cómo nos afectan éstos. Marca la casilla correspondiente tu grado de acuerdo con cada una de estas frases.

COMPLETAMENTE EN DESACUERDO

BASTANTE EN DESACUERDO

NI EN DESACUERDO NI DE ACUERDO

BASTANTE DE ACUERDO

COMPLETAMENTE DE ACUERDO

1. Cuando tengo problemas o contratiempos en mi vida me cuesta trabajo funcionar lo más normalmente posible	5	4	3	2	1
2. Cuando tengo problemas o contratiempos procuro que no afecten a mis emociones, relaciones u otras esferas de mi vida.	1	2	3	4	5
3. Cuando tengo problemas mi salud no se resiente notablemente.	1	2	3	4	5
4. Cuando tengo problemas o contrariedades dudo de mi capacidad para afrontarlos eficazmente.	5	4	3	2	1
5. Soy capaz de no dramatizar los problemas y le doy su justo valor a las cosas.	1	2	3	4	5
6. Cuando tengo problemas o contratiempos mi cuerpo lo acusa notablemente y me noto activado o tenso.	5	4	3	2	1
7. Para resolver un problema pongo en marcha todos los recursos que están a mi alcance.	1	2	3	4	5
8. Cuando tengo problemas o contrariedades no dejo de pensar en ellos y soy incapaz de prestar atención a otras cosas.	5	4	3	2	1

Escala de Satisfacción con la Vida (SWLS)

Atienza et al. (2000)

Vas a encontrar a continuación una serie de oraciones que describen como se siente una persona, marca las alternativas de la mejor manera que consideres tú que te estás sintiendo. Hazlo con confianza y tranquilidad pues no existen respuestas buenas o malas

1	2	3	4	5
Totalmente en desacuerdo	En desacuerdo	Ni de acuerdo ni en desacuerdo	De acuerdo	Totalmente de acuerdo

	1	2	3	4	5
1. En la mayoría de los aspectos de mi vida es como yo quiero que sea					
2. Las circunstancias de mi vida son muy buenas					
3. Estoy satisfecho con mi vida					
4. Hasta ahora he conseguido de la vida las cosas que considero importantes					
5. Si pudiera vivir mi vida otra vez no cambiaría casi nada					

Anexo 4: Formulario virtual para la recolección de datos

Enlace del formulario:

<https://forms.gle/Ue5Phkdf1FqbNaY58>



PROPIEDADES PSICOMÉTRICAS DEL
SÍNDROME DE BURNOUT (MBI-ES) EN
PROFESORES DE LIMA
METROPOLITANA, 2021

Buen día estimado docente de la institución educativa:
Ysabel Aranguez Díaz y Alex Vásquez Sempértegui, somos estudiantes de la Escuela Profesional de Psicología de la Universidad Cesar Vallejo, estamos realizando esta investigación como parte del Informe de Investigación para obtener el grado de licenciado.

La participación de este estudio es voluntaria y ser docente de una institución educativa, no hay rango de edad. Completar este formulario no te tomara mas de 20 minutos, solo es necesario que respondas con sinceridad y no te preocupes porque no hay respuestas buenas o malas. La información recolectada será confidencial y se utilizará para fines académicos. En caso tengas dudas adicionales, te comento que esta investigación está supervisada por el Mg. Fernando Joel Rosario Quiroz (rquirozf@ucv.edu.pe) para que pueda resolver tus dudas.

Agradecemos su participación y la voluntad para completar el formulario.

***Obligatorio**

Correo *

Tu dirección de correo electrónico _____

FICHA SOCIO DEMOGRAFICA

NOMBRE

EDAD:

SEXO:

masculino

femenino

INSTITUCION EDUCATIVA:

estatal

privada

AÑOS DE EXPERIENCIA COMO DOCENTE:

0 – 10 años

11 – 20 años

NIVEL:

Inicial

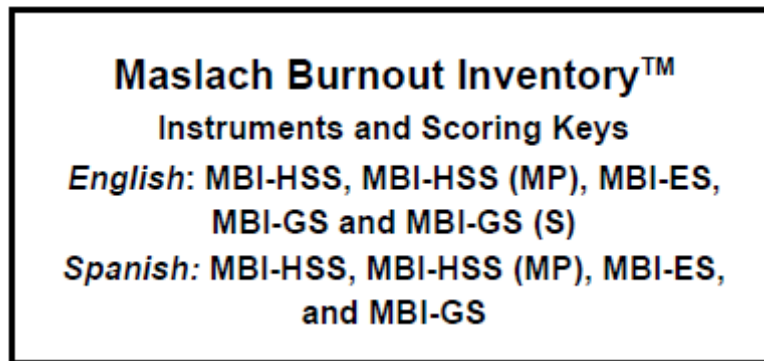
primaria

secundaria

Anexo 5: Licencia para el uso de instrumento MBI-ES.

For use by Mary Ysabel Aranguéz Díaz only. Received from Mind Garden, Inc. on June 11, 2021

**Permission for Mary Ysabel Aranguéz Díaz to reproduce 50 copies
within three years of June 11, 2021**



Christina Maslach
Susan E. Jackson
Michael P. Leiter
Wilmar B. Schaufeli
Richard L. Schwab

Published by Mind Garden, Inc.

info@mindgarden.com
www.mindgarden.com

Important Note to Licensee

If you have purchased a license to reproduce or administer a fixed number of copies of an existing Mind Garden instrument, manual, or workbook, you agree that it is your legal responsibility to compensate the copyright holder of this work — via payment to Mind Garden — for reproduction or administration in any medium. Reproduction includes all forms of physical or electronic administration including online survey, handheld survey devices, etc.

The copyright holder has agreed to grant a license to reproduce the specified number of copies of this document or instrument within one year from the date of purchase.

You agree that you or a person in your organization will be assigned to track the number of reproductions or administrations and will be responsible for compensating Mind Garden for any reproductions or administrations in excess of the number purchased.

This instrument is covered by U.S. and international copyright laws. Any use of this instrument, in whole or in part, is subject to such laws and is expressly prohibited by the copyright holder. If you would like to request permission to use or reproduce the instrument, in whole or in part, contact Mind Garden, Inc.

Anexo 6: Carta de solicitud de autorización de uso de instrumento EAEAE.



UNIVERSIDAD CÉSAR VALLEJO

"Año de Bicentenario del Perú: 200 años de Independencia"

Los Olivos, 04 de marzo del 2021

CARTA INV. N° 1622 – 2021/EP/PSI.UCV LIMA NORTE – LN

Autor

- Dra. Débora Godoy Izquierdo
- Dr. Juan Godoy García

Presente.-

De nuestra consideración

Es grato dirigirme a Ud. para expresarle mi cordial saludo y a la vez presentarle al Sr. VÁSQUEZ SEMPERTEGUI ALEX HERNÁN con DNI 46205236 y código de matrícula 7002409751 y la Srta. ARANGUEZ DIAZ MARY YSABEL con DNI: 09618601, código de matrícula 6700110941, estudiantes del último año de la Escuela de Psicología de nuestra casa de estudios, quienes realizarán su trabajo de investigación para optar el título de licenciados en psicología, titulado: "PROPIEDADES PSICOMÉTRICAS DEL SÍNDROME DE BURNOUT (MBI-SS) EN PROFESORES DE LIMA METROPOLITANA, 2021", este trabajo de investigación tiene fines académicos, sin fines de lucro alguno, donde se realizará una investigación, a través de la validez, la confiabilidad, análisis de ítems y baremos tentativos.

Agradezco por antelación les brinde las facilidades del caso proporcionando una carta de autorización para el uso del instrumento en mención, para sólo fines académicos, y así prosigan con el desarrollo del proyecto de investigación.

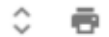
En esta oportunidad hago propicia la ocasión para renovarles los sentimientos de mi especial consideración y estima personal.

Atentamente,

Mg. Sandra Patricia Céspedes Vargas Machuca
Coordinadora de la Escuela de Psicología
Filial Lima - Campus Lima Norte

Anexo 7: Autorización para aplicar el estudio piloto.

AUTORIZACION DE INSTRUMENTO EAEAE Recibidos x



MARY YSABEL ARANGUEZ DIAZ

5 mar 2021 14:04 (hace 7 días)

Estimada Dra. Debora Godoy Izquierdo Mi nombre es Mary Ysabel Aranguez Diaz, estudiante de la Universidad César Vallejo en Lima, Perú. Me gustaría comenzar esta

Débora Godoy Izquierdo

7 mar 2021 14:28 (hace 5 días)



para mí ▾

Estimada Mary Ysabel,

por supuesto tienes nuestro permiso para usar esta medida. Espero tengas los dos artículos que publicamos para su validación.

Espero que tú y los tuyos estéis bien en estos tiempos. Mucha suerte con tu investigación,

D.




—

Dra. Débora Godoy Izquierdo (Ph.D.)
Profesora Titular de Universidad - Associate Professor
Responsable del Grupo de Investigación CTS-267 Psicología de la Salud y Medicina Conductual - Health Psychology & Behavioral Medicine
Depto. Personalidad, Evaluación y Tratamiento Psicológico - Dept. Personality, Assessment and Psychological Treatment
Facultad de Psicología - Faculty of Psychology
Campus Universitario de Cartuja. 18071. Granada. España (Spain)
Tlf: (+34)958242331 Fax: (+34)958243749
e-mail: deborag@ugr.es

Anexo 8: Autorización de instrumento SWLS para aplicar al piloto.

Ed Diener

Joseph R. Smiley Distinguished Professor Emeritus of Psychology
Senior Scientist for the Gallup Organization



Hogar Contactos y enlaces Ed Diener y laboratorio INVESTIGACIÓN ESCAMAS Consultas

SEARCH STUFF Search Buscar solo en este sitio

Escamas

- Visión general
- Escala de satisfacción con la vida (SWLS)
- Escala de experiencia positiva y negativa (SPANE)
- Escala floreciente (FS)
- Básculas para niños y adolescentes
- Afectar medida de intensidad
- Inventario de prósperos (CIT y BIT)

Traducciones SWLS

- Arábica
- Árabe2
- Bosnio
- Chino
- Checo
- Danés
- Holandés
- Inglés
- Flamenco
- Francés
- Georgiano
- Alemán
- Griego
- Hebreo
- Hindi
- Húngaro
- Islandés
- Italiano
- Japonés
- Demar
- Coreano
- Noruego
- Persa
- Portugués
- Polaco
- Rumano
- Rumano

Escala de satisfacción con la vida (SWLS)

Permiso de uso

La escala tiene derechos de autor, pero usted es libre de usarla sin permiso o cargo por parte de todos los profesionales (investigadores y practicantes) siempre que dé crédito a los autores de la escala: Ed Diener, Robert A. Emmons, Randy J. Larsen y Sharon. Griffin como se señaló en el artículo de 1985 en el *Journal of Personality Assessment* .

Sobre SWLS

El SWLS es un instrumento corto de 5 ítems diseñado para medir juicios cognitivos globales de satisfacción con la vida. Por lo general, la escala solo requiere alrededor de un minuto del tiempo del encuestado.

[SWLS_English.doc](#)

Para comprender mejor los puntajes de la SWLS, lea el documento a continuación.
[Comprensión de las puntuaciones de SWLS \(.pdf\)](#)

Si desea utilizar SWLS en una escala de 5 puntos, consulte el siguiente documento para conocer las normas.

Kobau, R., Sniezek, J., Zack, MM, Lucas, RE y Burns, A. (2010). Evaluación del bienestar: una evaluación de las escalas de bienestar para la salud pública y las estimaciones poblacionales del bienestar entre los adultos de EE. UU. *Psicología aplicada: salud y bienestar*, 2 (3), 272-297. doi: <http://dx.doi.org/10.1111/j.1758-0854.2010.01035.x>

Artículos importantes sobre SWLS:

Si desea saber más sobre SWLS y su investigación relacionada, lea los siguientes artículos, cuyas referencias se encuentran a continuación. Estos artículos se pueden encontrar en la [página de reimpresión \(en UIUC\)](#) .

Diener, E., Emmons, RA, Larsen, RJ y Griffin, S. (1985). La escala de satisfacción con la vida. *Revista de evaluación de la personalidad* , 49 , 71-75.

Pavot, WG, Diener, E., Colvin, CR y Sandvik, E. (1991). Mayor validación de la escala de satisfacción con la vida: evidencia de la convergencia entre métodos de las medidas de bienestar. *Revista de evaluación de la personalidad*, 57, 149-161.

Pavot, W. y Diener, E. (1993). Revisión de la Escala de Satisfacción con la Vida. *Evaluación psicológica* , 5 , 164-172.

Pavot, W. y Diener, E. (2008). La escala de satisfacción con la vida y el constructo emergente de satisfacción con la vida. *Journal of Positive Psychology* , 3 , 137-152.

Traducciones SWLS:

Hay disponibles traducciones del SWLS a varios idiomas. No dude en traducir el SWLS a otros

Enlace : <http://labs.psychology.illinois.edu/~ediener/SWLS.html>

Figura 1

Dimensión Despersonalización MBI-ES

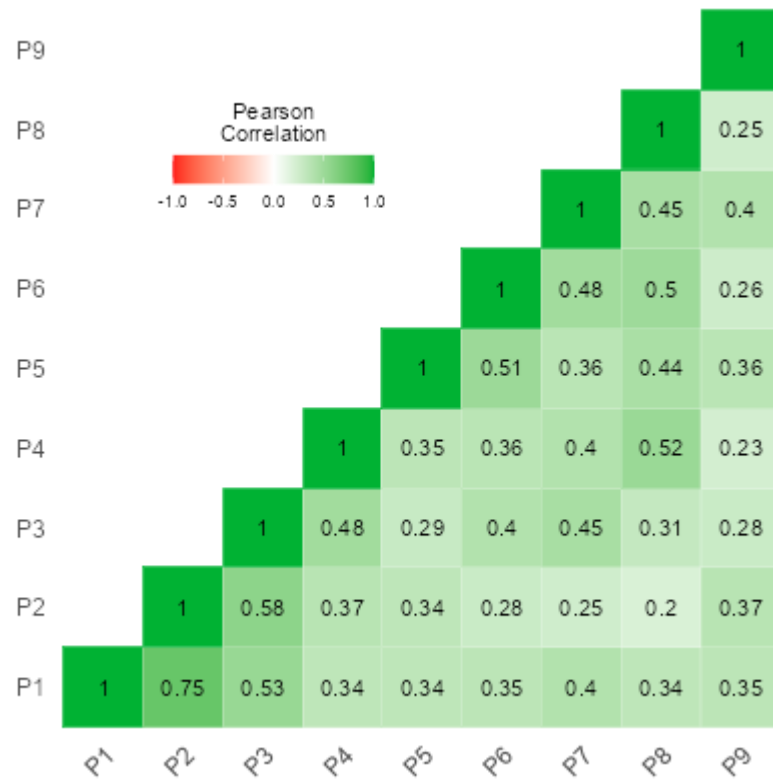


Tabla 2*Análisis estadísticos de los ítems de la dimensión Despersonalización*

Ítems	Frecuencia							M	DE	g^1	g^2	h^2	IHC	Si se elimina un ítem		Correlación de ítems					
	0	1	2	3	4	5	6							α	ω	P10	P11	P12	P13	P14	
P10	88.75	5	2.5	2.5	1.25	0	0	0.23	0.73	3.65	13.50	0.574	0.271	0.844	0.85	—					
P11	63.75	20	5	3.75	1.25	2.5	3.75	0.81	1.51	2.29	4.73	0.358	0.549	0.607	0.649	.49	—				
P12	57.5	25	8.75	5	3.75	0	0	0.73	1.07	1.60	1.98	0.72	0.459	0.639	0.702	.67	.50	—			
P13	78.75	13.75	1.25	3.75	0	0	2.5	0.43	1.12	3.66	14.71	0.113	0.621	0.584	0.616	.21	.18	.25	—		
P14	63.75	23.75	6.25	3.75	0	1.25	1.25	0.61	1.11	2.71	8.99	0.169	0.324	0.728	0.759	.25	.21	.36	.32	—	

En la tabla 2, se aprecia las valoraciones a nivel exploratorio de cada uno de los ítems y sus estimaciones estadísticas, encontrándose que la simetría y curtosis alcanzaron rangos aceptables puesto que son mayores o iguales a 0.30, las consideraciones de fiabilidad indican una correcta consistencia y los porcentajes de respuestas están por debajo del ochenta por ciento lo cual indica que no hay presencia de sesgo o deseabilidad social (Carvajal, et al. 2016).

Figura 2

Dimensión Despersonalización MBI-ES

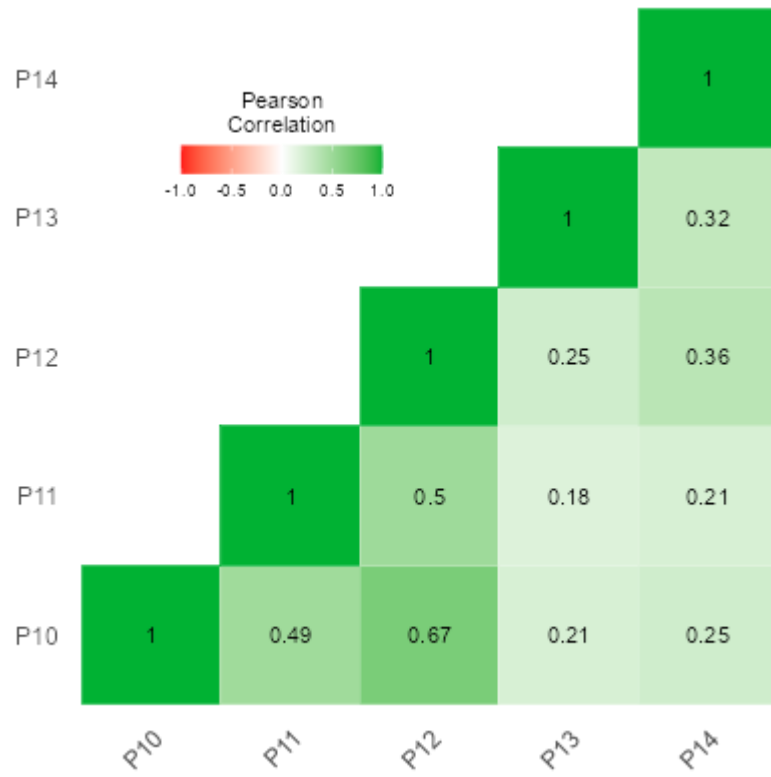


Figura 3

Dimensión Realización Profesional MBI-ES

Correlation Heatmap

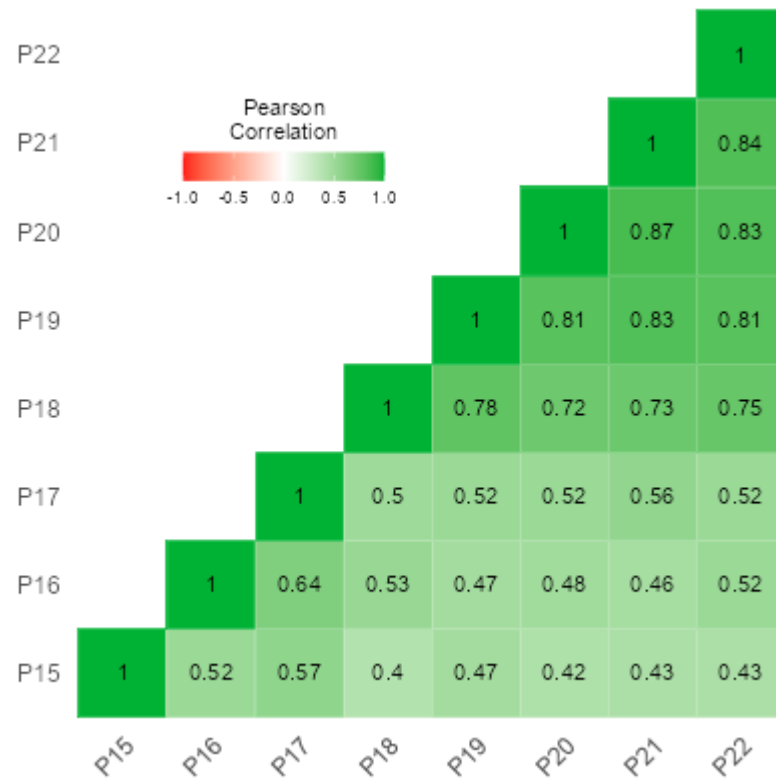
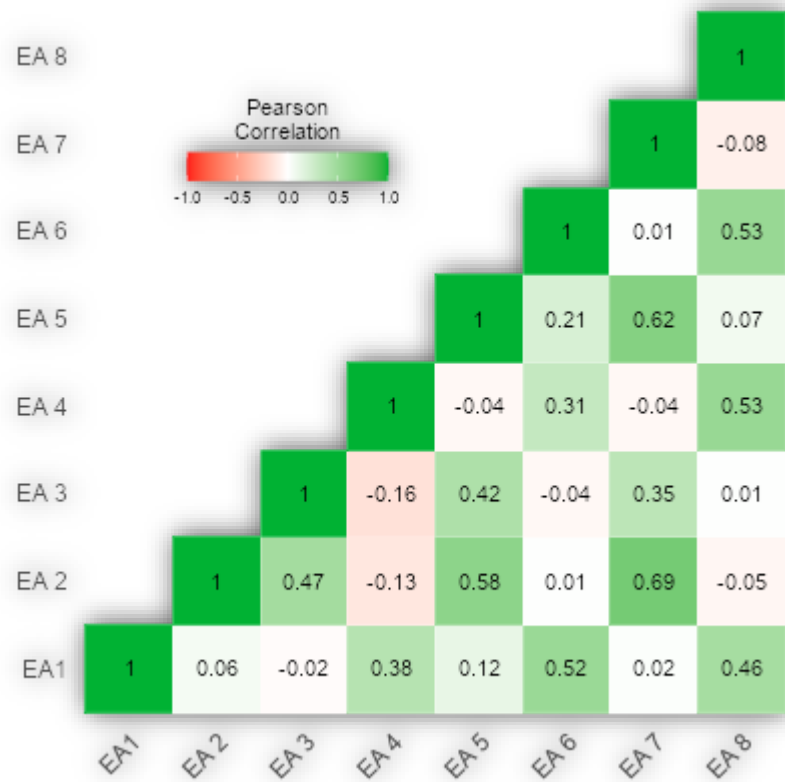


Figura 4

Escala de autoeficacia para el afrontamiento del estrés (EAEAE)



Instrumento 3: Escala de Satisfacción con la vida (SWLS)

Tabla 5:

Análisis Estadísticos de los ítems de SWLS

Ítems	Porcentaje de respuesta					M	DE	g^1	g^2	h^2	IHC	Sí un ítems se elimina		Correlación de ítems						
	1	2	3	4	5							α si se elimina	ω si se elimina	EF 1	EF 2	EF 3	EF 4	EF 5		
																			SV 1	6.3
SV 2	1.3	5.0	23.8	37.5	32.5	3.95	0.94	0.74	-0.64	0.04	0.24	0.77	0.77	0.41	1.00					
SV 3	3.8	5.0	12.5	37.5	41.3	4.08	1.04	0.72	-1.26	1.31	0.27	0.77	0.78	0.37	0.84	1.00				
SV 4	3.8	6.3	15.0	40.0	35.0	3.96	1.05	0.63	-1.07	0.81	0.54	0.79	0.82	0.42	0.54	0.54	1.00			
SV 5	7.5	15.0	13.8	33.8	30.0	3.64	1.26	0.6	-0.66	-0.65	0.59	0.8	0.83	0.39	0.52	0.51	0.49	1.00		

En la tabla 5, los valores de confiabilidad hallados por la prueba de Alfa de Cronbach y Omega de Mc Donald fueron consistentes en los rangos estadísticos, además los porcentajes de respuestas fueron óptimos estando por debajo del 80%, las calificaciones dentro de la asimetría y curtosis estuvieron en el rango de entre -1.50 y 1.50, lo cual se halla como pertinente (Carvajal, et al. 2016).

Figura 5.

Escala de Satisfacción con la vida (SWLS)



SINTAXIS

Tabla 1: MBI-ES

Dimensión Agotamiento Emocional

jmv::reliability(

```
data = data,  
vars = vars(ITEM 1, ITEM 2, ITEM 3, ITEM 6, ITEM 8, ITEM 13, ITEM 14, ITEM 16, ITEM 20),  
meanScale = TRUE,  
sdScale = TRUE,  
alphaItems = TRUE,  
omegaItems = TRUE,  
meanItems = TRUE,  
sdItems = TRUE,  
itemRestCor = TRUE)
```

jmv::descriptives(

```
data = data,  
vars = vars(ITEM 1, ITEM 2, ITEM 3, ITEM 6, ITEM 8, ITEM 13, ITEM 14, ITEM 16, ITEM 20),  
freq = TRUE,  
n = FALSE,  
miESing = FALSE,  
mean = FALSE,  
median = FALSE,  
sd = FALSE,  
min = FALSE,  
max = FALSE)
```

jmv::descriptives(

```
data = data,  
vars = vars(ITEM 1, ITEM 2, ITEM 3, ITEM 6, ITEM 8, ITEM 13, ITEM 14, ITEM 16, ITEM 20),  
n = FALSE,  
miESing = FALSE,  
mean = FALSE,  
median = FALSE,  
sd = FALSE,  
min = FALSE,  
max = FALSE,  
skew = TRUE,  
kurt = TRUE)
```

jmv::corrMatrix(

```
data = data,  
vars = vars(ITEM 1, ITEM 2, ITEM 3, ITEM 6, ITEM 8, ITEM 13, ITEM 14, ITEM 16, ITEM 20))
```

jmv::efa(

```
data = data,  
vars = vars(ITEM 1, ITEM 2, ITEM 3, ITEM 6, ITEM 8, ITEM 13, ITEM 14, ITEM 16, ITEM 20))
```

Tabla 2: MBI-ES

Dimensión DP

jmv::reliability(

```
data = data,  
vars = vars(ITEM 5, ITEM 10, ITEM 11, ITEM 15, ITEM 22),
```

```

corPlot = TRUE,
alphaltems = TRUE,
omegaltems = TRUE,
meanltems = TRUE,
sdltems = TRUE,
itemRestCor = TRUE)
jmv::efa(
  data = data,
  vars = vars(ITEM 5, ITEM 10, ITEM 11, ITEM 15, ITEM 22))
jmv::descriptives(
  data = data,
  vars = vars(ITEM 5, ITEM 10, ITEM 11, ITEM 15, ITEM 22),
  n = FALSE,
  miESing = FALSE,
  mean = FALSE,
  median = FALSE,
  sd = FALSE,
  min = FALSE,
  max = FALSE,
  skew = TRUE,
  kurt = TRUE)
jmv::corrMatrix(
  data = data,
  vars = vars(ITEM 5, ITEM 10, ITEM 11, ITEM 15, ITEM 22))

```

```

jmv::descriptives(
  data = data,
  vars = vars(ITEM 5, ITEM 10, ITEM 11, ITEM 15, ITEM 22),
  freq = TRUE,
  n = FALSE,
  miESing = FALSE,
  mean = FALSE,
  median = FALSE,
  sd = FALSE,
  min = FALSE,
  max = FALSE)

```

Tabla 4: Escala de Autoeficacia de Afrontamiento de Estres

```

jmv::reliability(
  data = data,
  vars = vars(EA1, EA 2, EA 3, EA 4, EA 5, EA 6, EA 7, EA 8),
  corPlot = TRUE,
  alphaltems = TRUE,
  omegaltems = TRUE,
  meanltems = TRUE,
  sdltems = TRUE,
  itemRestCor = TRUE)
jmv::efa(
  data = data,
  vars = vars())
jmv::corrMatrix(
  data = data,
  vars = vars(EA1, EA 2, EA 3, EA 4, EA 5, EA 6, EA 7, EA 8))

```


jmv::descriptives(

```
data = data,  
vars = vars(EA1, EA 2, EA 3, EA 4, EA 5, EA 6, EA 7, EA 8),  
n = FALSE,  
miESing = FALSE,  
mean = FALSE,  
median = FALSE,  
sd = FALSE,  
min = FALSE,  
max = FALSE,  
skew = TRUE,  
kurt = TRUE)
```

jmv::descriptives(

```
data = data,  
vars = vars(EA1, EA 2, EA 3, EA 4, EA 5, EA 6, EA 7, EA 8),  
freq = TRUE,  
n = FALSE,  
miESing = FALSE,  
mean = FALSE,  
median = FALSE,  
sd = FALSE,  
min = FALSE,  
max = FALSE)
```

Tabla 5: Escala de Satisfacción con la Vida**jmv::reliability(**

```
data = data,  
vars = vars(EF 1, EF 2, EF 3, EF 4, EF 5),  
omegaScale = TRUE,  
meanScale = TRUE,  
sdScale = TRUE,  
corPlot = TRUE,  
alphaltems = TRUE,  
omegaltems = TRUE,  
meanltems = TRUE,  
sdltems = TRUE,  
itemRestCor = TRUE)
```

jmv::descriptives(

```
data = data,  
vars = vars(EF 1, EF 2, EF 3, EF 4, EF 5),  
n = FALSE,  
miESing = FALSE,  
mean = FALSE,  
median = FALSE,  
sd = FALSE,  
min = FALSE,  
max = FALSE,  
skew = TRUE,  
kurt = TRUE)
```

jmv::corrMatrix(

```
data = data,  
vars = vars(EF 1, EF 2, EF 3, EF 4, EF 5))
```

jmv::descriptives(

```
data = data,  
vars = vars(EF 1, EF 2, EF 3, EF 4, EF 5),  
freq = TRUE,  
n = FALSE,  
miESing = FALSE,  
mean = FALSE,  
median = FALSE,  
sd = FALSE,  
min = FALSE,  
max = FALSE)
```

jmv::efa(

```
data = data,  
vars = vars(EF 1, EF 2, EF 3, EF 4, EF 5))  
jmv::reliability(
```

```
data = data,  
vars = vars(EF 1, EF 2, EF 3, EF 4, EF 5),  
omegaScale = TRUE,  
meanScale = TRUE,  
sdScale = TRUE,  
corPlot = TRUE,  
alphaltems = TRUE,  
omegaltems = TRUE,  
meanltems = TRUE,  
sdltems = TRUE,  
itemRestCor = TRUE)
```

SINTAXIS DE RESULTADOS DE MUESTRA

Jamovi

Tabla 1: Análisis descriptivo de los ítems del MBI-ES

Estadísticos descriptivos de los ítems

jmv::descriptives (

```
data = data,  
vars = vars(P1, P2, P3, P4, P5, P6, P7, P8, P9, P10, P11, P12, P13, P14, P15, P16, P17, P18,  
P19, P20, P21, P22),  
freq = TRUE,  
n = FALSE,  
miESing = FALSE,  
median = FALSE,  
min = FALSE,  
max = FALSE,  
skew = TRUE,  
kurt = TRUE)
```

Análisis factorial exploratorio

Escala agotamiento emocional

jmv::efa(

```
data = data,  
vars = vars(P1, P2, P3, P4, P5, P6, P7, P8, P9),  
nFactorMethod = "eigen",  
extraction = "pa",  
kmo = TRUE,  
bartlett = TRUE,  
factorScoresOV = list(  
  synced=list()))
```

Escala despersonalización

jmv::efa(

```
data = data,  
vars = vars(P10, P11, P12, P13, P14),  
nFactorMethod = "eigen",  
extraction = "pa",  
kmo = TRUE,  
bartlett = TRUE,  
factorScoresOV = list(  
  synced=list()))
```

Escala Realización personal.

jmv::efa(

```
data = data,  
vars = vars(P22, P21, P20, P19, P18, P17, P16, P15),  
nFactorMethod = "eigen",  
extraction = "pa",  
kmo = TRUE,  
bartlett = TRUE,  
factorScoresOV = list(  
  synced=list()))
```

Índice de homogeneidad corregida y alfa si se elimina el elemento

Escala agotamiento emocional

jmv::reliability(

```
data = data,  
vars = vars(P1, P2, P3, P4, P5, P6, P7, P8, P9),  
alphaltems = TRUE,  
itemRestCor = TRUE)
```

Escala despersonalización

jmv::reliability(

```
data = data,  
vars = vars (P11, P12, P13, P14),  
alphaltems = TRUE,  
itemRestCor = TRUE)
```

Escala Realización personal.

```
jmv::reliability(  
  data = data,  
  vars = vars(P22, P21, P20, P19, P18, P17, P16, P15),  
  alphas = TRUE,  
  itemRestCor = TRUE)
```

Correlación de ítems por dimensión

```
jmv::corrMatrix (  
  data = data,  
  vars = vars(P1, P2, P3, P4, P5, P6, P7, P8, P9),  
  Pearson = FALSE,  
  spearman = TRUE,  
  sig = FALSE,  
  plotDens = TRUE,  
  plotStats = TRUE)
```

```
jmv::corrMatrix(  
  data = data,  
  vars = vars(P10, P11, P12, P13, P14),  
  sig = FALSE)
```

```
jmv::corrMatrix(  
  data = data,  
  vars = vars(P15, P16, P17, P18, P19, P20, P21, P22),  
  sig = FALSE)
```

Tabla 2: Análisis factorial exploratorio del MBI-ES

```
jmv::efa(  
  data = data,  
  vars = vars(P1, P2, P3, P4, P5, P6, P7, P8, P9, P10, P11, P12, P13, P14, P15, P16, P17, P18,  
  P19, P20, P21, P22),  
  nFactorMethod = "fixed",  
  nFactors = 3,  
  extraction = "pa",  
  rotation = "promax",  
  hideLoadings = 0.2,  
  kmo = TRUE,  
  bartlett = TRUE,  
  factorScoresOV = list(  
    synced=list()))
```

Jasp

Tabla 3: Análisis factorial confirmatorio del MBI-ES

Tabla 4: *Índices de ajuste del análisis factorial confirmatorio MBI-ES*

Factors

Factor1 =~ lambda_1_1*P1 + lambda_1_2*P2 + lambda_1_3*P3 + lambda_1_4*P4 +
lambda_1_5*P5 + lambda_1_6*P6 + lambda_1_7*P7 + lambda_1_8*P8 + lambda_1_9*P9

Factor2 =~ lambda_2_1*P10 + lambda_2_2*P11 + lambda_2_3*P12 + lambda_2_4*P13 +
lambda_2_5*P14

$$\text{Factor3} = \sim \lambda_{3_1} * P15 + \lambda_{3_2} * P16 + \lambda_{3_3} * P17 + \lambda_{3_4} * P18 + \lambda_{3_5} * P19 + \lambda_{3_6} * P20 + \lambda_{3_7} * P21 + \lambda_{3_8} * P22$$

Fiabilidad compuesta Omega

Tabla 5: Evidencias de confiabilidad de las escalas del MBI-ES

	Factor 1	Factor 2	Factor 3	Factor 4	Factor 5	Factor 6	Factor 7	Factor 8	
Factor 1	1								
Factor 2	0.5237	1							
Factor 3	-0.5929	-0.6904	1						
Factor 4				1					
Factor 5					1				
Factor 6						1			
Factor 7							1		
Factor 8								1	
Error&Lambc	Error	Factor 1	Factor 2	Factor 3	Factor 4	Factor 5	Factor 6	Factor 7	Factor 8
X1	0.538	0.6797							
X2	0.5652	0.6594							
X3	0.4725	0.7263							
X4	0.4071	0.77							
X5	0.3239	0.8222							
X6	0.4291	0.7556							
X7	0.4074	0.7698							
X8	0.5579	0.6649							
X9	0.3984	0.7756							
X10	0.7116		0.537						
X11	0.6632		0.5803						
X12	0.3668		0.7958						
X13	0.8841		0.3405						
X14	0.7646		0.4852						
X15	0.8955			0.3233					
X16	0.7889			0.4595					
X17	0.8191			0.4253					
X18	0.448			0.743					
X19	0.5506			0.6704					